

Biga Yarımadasındaki Pb-Sulfomineralleri, Bunların Oluşum Koşulları ve Kökenleri *

Dr. Eşref AYDIN

ÖZET : Bu çalışmada önde gelen amaç, Biga Yarımadası'ndaki çeşitli kurşun-çinko cevherleşmelerinin ortak özelliklerini saptamak ve oluşum koşullarını araştırmak olmakla beraber; ağırlığın Balya'da gelişen ve bir kontak metasomatik cevherleşmesi için sayıları sürpriz dereceye varan Pb-Bi-As-Sb sulfominerallerini en gelişmiş yöntemlerle arastırmaktır.

Biga Yarımadası'ndaki Pb-Zn cevherleşmelerinin oluşum koşullarını belirlemek için Yarımada'daki en önemli cevherleşmelerden (Altınoluk, Kalkım-Hanederesi, Bağırkaç, Arapuçan Dere ve Balya) alınan galenit örneklerinin Bi, Sb ve Ag içeriğleri elektron mikroprob ile analiz edilmiştir. Sb/Bi oranları indeks olarak kullanıldığında Balya'daki cevherleşmenin oluşum sıcaklığının orta sıcaklık zonu ($140\text{--}220^{\circ}\text{C}$), Bağırkaç cevherleşmesinin yüksek sıcaklık zonunda ($200\text{--}300^{\circ}\text{C}$), Altınoluk, K. Hanederesi ve Arapuçan Dere cevherleşmelerinin oluşum sıcaklıklar ise yüksek ve orta dereceler arasındaki geçiş zonunda yer aldıkları saptanmıştır. Balya sondaj örneklerinde yapılan incelemede Bi elementinin konsantrasyonu derinlik arttıkça artarken, incelenen derinlik boyunca, Sb elementinin önemli bir değişiklik göstermediği; buna karşılık Ag elementinin konsantrasyonu yüksek sıcaklık ile orta sıcaklık arasında geçiş teşkil eden oluşumlarda en düşük seviyede olup, sadece Balya'da yapılan analizlerde Ag'nin daha ziyade sig deirliliklerde artış gösterdiği belirlenmiştir.

Balya sondaj karotlarından hazırlanan parlatma örneklerinde elektron mikroprob ile yapılan analizlerde çeşitli Pb-Bi ve Pb-Sb/As sulfominerallerinin varlığı ortaya konulmuştur.

| | | |
|-----------------------------|-------------------|---|
| Pb-Bi sulfomineralleri : | Bursait | $\text{Pb}_{3.40}\text{Bi}_{4.00}\text{S}_{11.52}$ |
| | Heyrovskylit | $\text{Pb}_{5.46}\text{Bi}_{2.00}\text{S}_{3.54}$ |
| | Pb-Bi-Te Minerali | $\text{Pb}_{1.22}\text{Bi}_{3.02}\text{S}_{2.22}\text{Te}_{1.00}$ |
| Pb-Sb/As sulfomineralleri : | Plajionit | $\text{Pb}_{4.90}(\text{Sb},\text{As})_{9.27}\text{S}_{17.00}$ |
| | Tvinnit | $\text{Pb}(\text{Sb},\text{As})_{2.11}\text{S}_{3.42}$ |
| | Jeokronit | $\text{Pb}.\text{Sb}.\text{S}_x$ |

Sulfomineraller üzerinde yapılan incelemede aşağıdaki bağıntıların geçerli olduğu görülmüştür :

$$\log_{10} \left(\frac{\text{Pb}}{\text{As}} \right) = -0.079 \text{ S} + 2.217$$

$$\log_{10} \left(\frac{\text{Pb}}{\text{Sb}} \right) = -0.121 \text{ S} + 2.606$$

$$\log_{10} \left(\frac{\text{Pb}}{\text{Bi}} \right) = -0.345 \text{ S} + 5.562$$

Bu bağıntılar ile sulfominerallerin analizlerinde, özellikle uygulanacak empirik düzeltmeler açısından karşılaşılan bazı zorlukların giderilebileceği ileri sürülmektedir.

*) Prof. Dr. Önder Öztunalı yönetiminde tamamlanan doktora tezinin kısaltılmış şeklidir.

SUMMARY : This work is concerned with the investigation of Pb-Zn ore deposits of contact metasomatic origin, in the Biga Peninsula, Western Turkey. The Pb-Bi and Pb-Sb/As sulfominerals, which reach a surprisingly high number in Balya, were examined with up to date analytical methods.

In order to determine the conditions of ore formation of Pb-Zn deposits in the Biga Peninsula, galenit samples collected from the leading deposits (Altınoluk, Kalkım-Handeresi, Bağırcak, Arapuçan Dere and Balya) were subjected to trace element analysis for their Bi, Sb and Ag contents using a JXA-50A JEOL electron micronalyser. Employing the Sb/Bi ratio as an index it was found that the Balya ore deposit was formed at medium temperature (140-220°C), Bağırcak at high temperature (200-300°C), Altınoluk, K. Handeresi and Arapuçan Dere were developed in the transitional range. The pressure parameter seems to be most effective in Bağırcak.

It was observed that in the core drill specimens of Balya the concentrations of Bi increased with increasing depth, Ag exhibiting a reverse nature, while the Sb content remained nearly unchanged. It was also noticed that the Ag content of galenas of medium temperature formation showed a remarkable enrichment.

Several Pb-Bi and Pb-Sb/As sulfominerals were determined to be present in the Balya Pb-Zn ore deposit, namely, bursaite ($Pb_{5.40} Bi_{4.00} S_{11.62}$) heyrovskyite ($Pb_{5.46} Bi_{2.60} S_{8.54}$), a Te-bearing Pb-Bi sulfomineral ($Pb_{1.22} Bi_{3.22} S_{2.22} Te_{1.00}$); plagonite $Pb_{4.90} (Sb, As)_{0.27} S_{27.00}$, tennite $Pb(Sb, As)_{2.11} S_{3.42}$; and geocrinite ($Pb_5 Sb_2 S_8$).

A new approach was attempted to formulate the sulfominerals currently known. It was discovered that a Log-linear relationship existed between the $\frac{Pb}{X}$ ratio and the S percentage, where X may be Bi, Sb and As. The following relationships were derived for the three sulfomineral groups:

$$\log_{10} \left(\frac{Pb}{As} \right) = -0.079 S + 2.217$$

$$\log_{10} \left(\frac{Pb}{Sb} \right) = -0.121 S + 2.606$$

$$\log_{10} \left(\frac{Pb}{Bi} \right) = -0.345 S + 5.562$$

It is suggested that these relationships will be of considerable application, specially for the determination of the magnitude of empiric corrections, frequently employed in the analysis of sulfominerals.

1. BALYA BÖLGESİNİN GENEL JEOLOJİSİ

1.1 Giriş

Bu çalışmada önde gelen amaç, Biga Yarımadası'ndaki çeşitli kurşun-çinko cevherlesmelerinin ortak özelliklerini saptamak ve oluşum koşullarını araştırmak olmakla beraber; ağırlığın Balya'da gelişen ve bir kontakt metasomatik cevherleşmesi için sayıları sürpriz derecede varan Pb-Bi-Sb-As sulfomineralerini en gelişmiş yöntemlerle araştırmaktır. Bu sulfomineralerin cevher oluşumundaki yerleri, çeşitli araştırmacılar tarafından yapılan deneysel

verilerle de karşılaştırılarak saptanmak istenmiştir. Bu anlamda çalışmanın ağırlıklı kısmı ayrıntılı örnek alımı dışında laboratuvar çalışmalarına dayandırılmıştır.

Laboratuvar ağırlıklı bir çalışmanın gereği olarak bölge ile ilgili jeolojik bilgileri bir araya getirirken önceki çalışmalardan geniş şekilde faydalananmanın zorunluluğu açıkça ortadadır.

Biga Yarımadası'nda günümüze dek çok sayıda yerbilimci çalışmıştır. Bunların herbirinin bölgenin jeolojisinin çözümlenmesinde

değişen katkıları olmuştur. Ancak, bölge için halen tartışma götürmeyen herhangibir jeolojik modelin varlığı da ortaya çıkarılmış değildir.

1.2. Balya ve Yakın Çevresinin Jeolojisi

Kalk-alkalen volkanizma ve subvolkanik faaliyetlerin Tersiyer'de etkinlik gösterdiği yerlerden birisi de Balya'dır. Bu tür volkanizmanın bölge içindeki en önemli litolojik birimleri dasit ve andezitik kayaçlardır. Üst Miyosen yaşı dasitler ile onlardan daha genç olan andezitlerden başka, yöredeki tortul kayaçlar etkin şekilde kıvrımlanma gösteren Permiyen kireçtaşları ve Triyas yaşı çamurtaşı ve konglameraller ile örneklenirler (Şekil 1.1.).

Permiyen ve Triyas ilişkilerinin henüz kesinlik kazanmadığı Balya da Permiyen kireçtaşlarının alloktón olarak Triyasin üstüne bir şaryaj ile geldiğini ileri sürenler yanında (Axygen, 1956); bunların bir olistolit şeklinde büyük bloklar halinde Triyas içinde yüzdüklerini ileri sürenler de vardır (Akyol, 1979). Bu ilişkiyi açıklamak için ileri sürülen bir başka yaklaşım ise bölgede Alpin orojenezinin neden olduğu, büyük boyutlara ulaşan yatık, izoklinal tipi kıvrımların olabileceği olasılığıdır (Gjelsvik, 1958).

Cevherleşme post-orogenik karakterli olup, gelişimi tektonik kontrolün etkisi altındadır. Fay ve kıvrımlar cevher çözeltilerinin getirilip çökeldiği en önemli tektonik yapılardır (Kadden, 1959).

Balya'daki cevherleşmenin kalk-alkalen (dasitik-andezitik) volkanizmaya bağlı oluşu, cevherlegmede çeşitli Pb-Bi ve Pb-Sb/As sulfominerallerinin varlığı ve bu minerallerin dikey zonlanmasındaki anomali durumunun (teleskopaj) söz konusu olması; primer cevherin daha sonraki evrelerde mobilize olmuş olması ve çok sayıda metamorfik minerallerin (örneğin; kalsit, granat, epidot, zoisit, klinozoisit, vollastonit, albit, ortoklas, diopsit-hedenbergit, tremolit, andalusit, vezüviyanit, skapolit ve klorit) bulunması gibi özelliklerle Balya'daki cevherleşme, tipik bir subvolkanik olayın simgesi durumundadır.

Balya sondaj karotlarından hazırlanan

parlatma örneklerinde gerçekleştirilen ayrıntılı mineralojik çalışmada kontak metasomatik tipte bir cevherleşme için önemli sayılabilecek sayıda sulfominerallerin varlığı ortaya konulmuştur. Bu mineraller çalışılan üç sondapda (BS.15, BS.16 ve BS.20) mevcuttur. Balya'da bu çalışmanın başladığı tarihe kadar 28 adet sondaj yapılmış, bunlardan sadece 13 tanesi cevher kesebilmisti. Sulfominerallerin dikey ve yanal dağılımlarını, varsa bir zonlanmanın belirlenmesi için daha ayrıntılı çalışmaların yapılması gereklidir.

Yapılan analizler sonucunda Balya örneklerinde Pb-Bi sulfominerallerinden bursait, heyrovskyit ve Pb-Bi-Te minerali ile Pb-Sb sulfomineral grubundan plajionit, tvinnit ve jeokronit gibi minerallerin varlığı saptanmıştır.

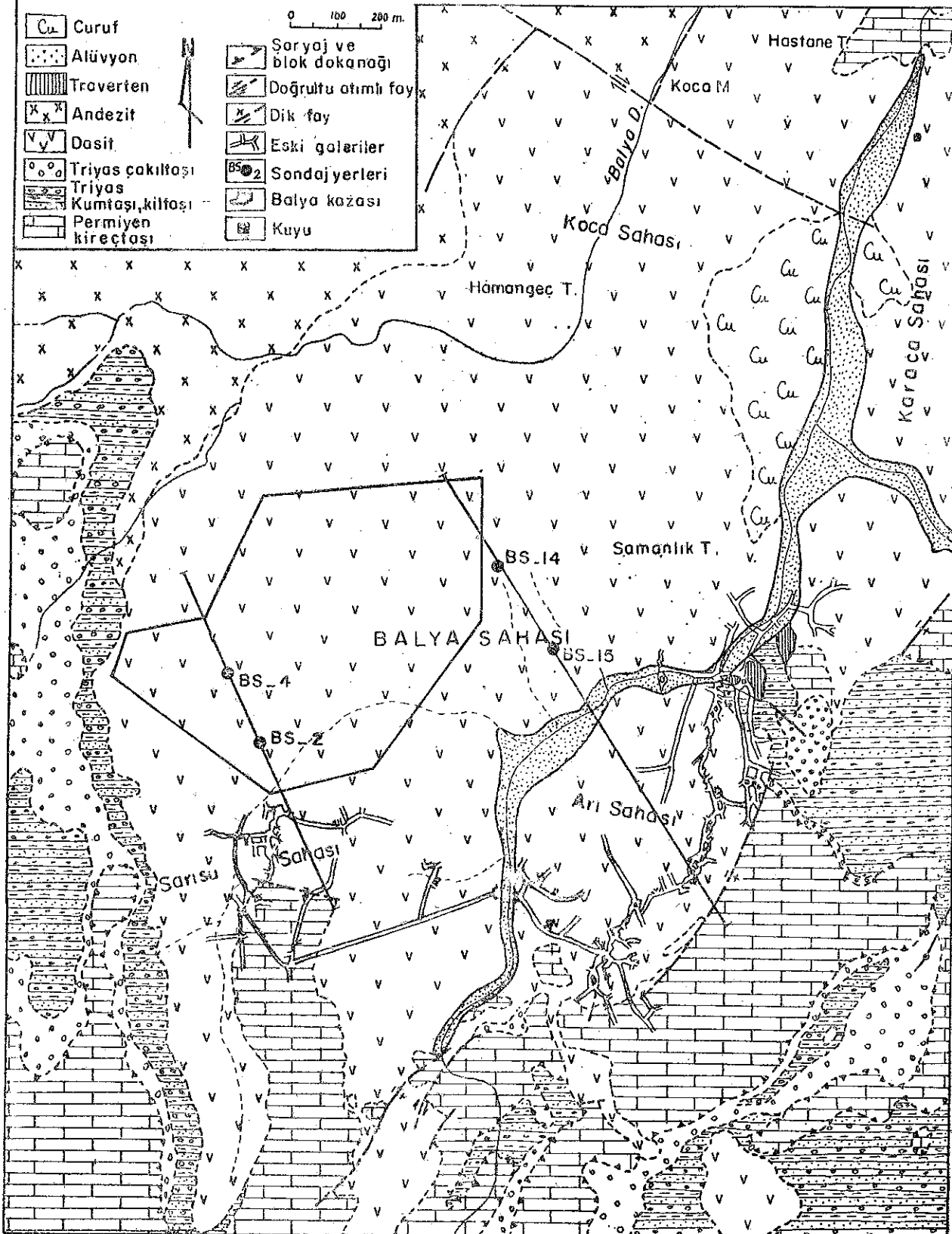
1.3. Biga Yarımadası'ndaki Pb-Zn cevherleşmelerinin oluşum koşullarının tayin edilmesinde galenitlerde Sb/Bi oranlarının kullanılması.

Galenit mineralinin yapısına girebilen Bi, Sb ve Ag elementlerinin konsantrasyonları, eser oranda olmalarına rağmen, cevherleşmenin sıcaklık ve basıncı ile yakından ilgilidir. Minerallerdeki eser elementlerin dağılım ve miktarlarının jeotermometre ve jeobarometre olarak kullanılabilecekleri çeşitli yazarlar tarafından ortaya konulmuştur (Chapman ve Stevens, 1933; Friedman, 1949; Holland, 1956; Koroleva, 1965; Barton ve Skinner, 1967; Malakhov, 1968; Bethke ve Barton, 1971; Scott ve Barnes, 1971; Hall ve diğ., 1971; Panfilov, 1972).

Uygulamaya yönelik en ayrıntılı çalışmaları Malakhov (1968) ve Panfilov (1972), çok sayıda ve değişik tip cevherlerden aldıkları galenit örneklerindeki Sb/Bi oranlarını saptayarak gerçekleştirmiştir. Birinci çalışmanın elde ettiği grafiklerde esas olarak üç ayrı sıcaklık alanı belirlenmiştir: yüksek sıcaklık ($200-300^{\circ}\text{C}$), orta sıcaklık ($140-220^{\circ}\text{C}$) ve düşük sıcaklık ($60-160^{\circ}\text{C}$).

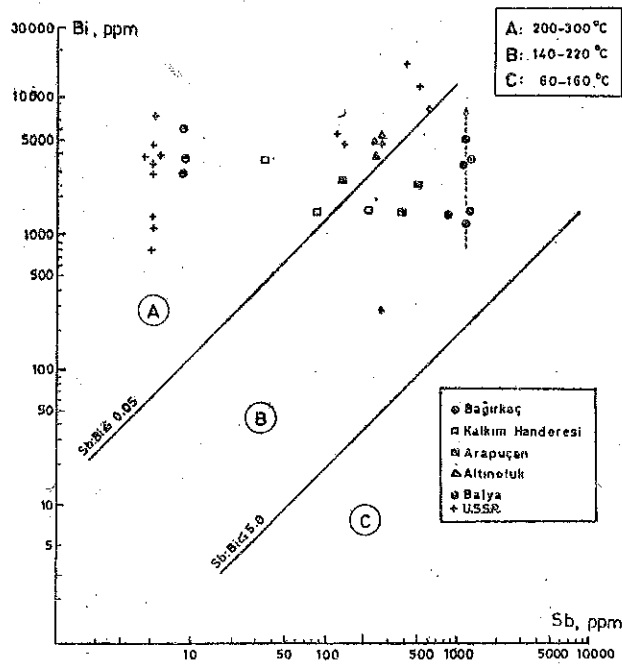
Biga Yarımadası'ndaki en önemli Pb-Zn cevherleşmeleri olan Altınoluk, Kalkım-Han deresi, Bağırkac ve Arapuçan Dere'den alınan

BALYA MADEN SAHASININ JEOLOJİ HARITASI



Sekil 1:1 - Balya maden sahasının jeoloji haritası (Akyol, 1979 dan alınmıştır).

galenit örneklerinde, oluşum koşullarını tahrmin edebilmek için elektron mikroprob ile Bi, Sb ve Ag gibi iz elementlerin analizi yapılmıştır. Korelasyon için aynı çalışma genişletilerek Balya örneklerine de uyuglanmıştır. Sb/Bi oranlarının indeks olarak kullanıldığı bu çalışmada Bağırcak'daki cevherleşmenin oluşum sıcaklığının en yüksek ($200\text{-}300^{\circ}\text{C}$) Balya'daki cevherleşmenin ise orta sıcaklıkta ($140\text{-}220^{\circ}\text{C}$) bir oluşum olduğu; buna karşın Kalkım - Handeresi, Arapuçan Dere ve Altınoluk'daki cevherleşmelerin oluşum sıcaklıklarının yüksek sıcaklık ile orta sıcaklık arasındaki geçiş zonunda yer aldığı (Aydın ve Öztunali, 1981) belirlenmiştir (Şekil 1, 2).



Şekil 1.2. Biga Yarımadası'nda bulunan kurşun-çinko cevherleşmelerinden (Altınoluk, Bağırcak, K. Handeresi, Arapuçan Dere ve Balya) alınan galenit örneklerinde gerçekleştirilen Bi ve Sb analizlerinin dağılımı görülmektedir.

Balya galenit örneklerinin Bi içeriği derinlik arttıkça artmaktadır (Malakhov, 1968'den sadeleştirilerek alınmıştır).

Bir cevherleşmenin duraylı koşullar altında meydana gelip gelmediği cevherleşmeye özgü bazı kritik minerallerin varlığı veya yokluğu ile belirienebilir (Barton ve diğ., 1963). Balya cevherleşmesine bakıldığından galenit ile çeşitli sulfominerallerin bir arada, beraber

bulunmaları primer bir oluşum için duraysızlık koşullarının varlığını akla getirir. Sulfominerallerin meydana gelebilmesi için mineral çözeltilerindeki Bi/Pb veya (Sb, As)/Pb oranlarının yüksek olması gereklidir. Balya'da böyle bir durum ancak primer cevherleşmeden sonraki evrelerde gerçekleşmiştir. Galenitin çoğunlukta olduğu bir cevherleşmede Bi_2S_3 , Sb_2S_3 ve As_2S_3 minerallerinin bağımsız bireyler halinde bulunması olası değildir. Zira bu basit sulfitlerin PbS ile birleşmesi sonucunda çeşitli sulfomineraller meydana gelir (scherbina, 1976). Halbuki Balya'da aynı sondajda elemental Bi, bizmutin ve Pb-Bi sulfomineralleri ve galenit birlikte bulunurlar. Bunun gerçekleşebilmesi için Bi, Sb ve Ag elementlerini içeren mineral çözeltilerinin soğumus olan ilk cevherleşmenin üzerine gelmiş olmasının gereklidir.

Balya'da farklı cevherleşme evrelerinin bulunduğuna ait bir başka kanıt pirotince zengin bir seviyenin bulunmasıdır. Pirotin çoğunlukla bazik kayaçlarda, bazende kontak metamorfiklerde ve yüksek ısılı ($>300^{\circ}\text{C}$) hidrotermal damarlarda bulunur (Barton ve diğ., 1963). Balya cevherleşmesi orta derecede ($140\text{-}220^{\circ}\text{C}$) bir sıcaklığa sahiptir. Bu pirotin oluşumu büyük olasılıkla cevherleşme evrelerinden biri sayılan andezitik volkanizma ile ilişkili olmalıdır.

2. PB-Bİ SULFOMINERALLERİ

2.1. Bursait, heyrovskiyit ve Pb-Bi-Te sulfominerallerinin bulunuşları ve önceki çalışmaları.

Mineraloji literatürüne kazandırılmış olan bursait ilk defa Bursa Uludağ'daki skarn tipi wolfram cevherleşmesinden alınan örneklerde saptanmıştır (Wikerslooth, 1955; Tolun, 1954/55). Bursait, selit ile birlikte bulunan sfalerit ve kalkopirit ile ilişkili olarak gözlenmiştir.

İlk belirlendiği tarihten bugüne kadar geçen zaman içinde bursait mineralinin varlığı henüz tam bir kesinlik kazanmamıştır. Bu mineralin varlığını kaygı ile karşıyanlar (Fleischer, 1956; Klomincky ve diğ., 1971) yanında bunun bir mineral türü olarak sap-

tanabildiğini belirten çalışmalar da var (Nowacki ve Stalder, 1969).

Heyrovskiyit ilk defa Çekoslovakya'nın Hurky kasabasında kuvars damarlari içinde, galenit ve kozalit ile beraber bulunmuştur (Klominsky ve diğ., 1971). Balya'dan alınan örneklerde yapılan elektron mikroprob analizleri sonuçlarına dayanarak heyrovskiyit olabileceği ileri sürülen bu mineral üzerindeki ilk çalışma Çağatay ve Aydin (1978) tarafından yapılmıştır. Daha sonra bu mineral bu araştırmahanın içeriğinde ayrıntılı olarak ele alınmış ve daha çok sayıda analizler yapılmıştır.

Kovenko (1940) Pb-Bi-Te mineralinden "elemental tellür" olarak bahsederken, Gjelsvik (1962) aynı sonucu yinelemiştir. Bu iki çalışmanın yapılmış olduğu tarihlerdeki ensürtmental analiz olanakları ile günümüz koşulları arasında oldukça büyük farklar vardır. Bugün bile maden mikroskobu ile bu minerali "bir tellür minerali" olarak adlandırmaktan öteye gidilemez. Mineralin bulunmuş şekli ve çok küçük boyutlu oluşu, (20-30 mikron kalınlığında ve birkaç yüz mikron büyüğünde) sorunu tipik bir elektron mikroprob uygulaması haline getirir.

Bursait ile heyrovskiyit ve sürekli olarak bu iki mineral içinde ayrışmalar şeklinde görülen Pb-Bi-Te minerali Balya'da BS.15 ve BS.20 nolu sondaj karotlarında gözlenmiştir. Pb-Sb/As sulfomineralerinin saptandığı BS.16 nolu sondajda bu mineraller mevcut değildir.

2.2. Balya'da saptanan Pb-Bi sulfomineralerinin optik özellikleri.

Balya sondaj karotlarından hazırlanan parlatmalarda yapılan maden mikroskobu incelenmesinde bursait ile heyrovskiyitin genellikle beraber büyütükleri veya yakın ilişkide oldukları gözlenmiştir. Bu nedenle bu minerallerin optik özelliklerinin beraber ele alınması yararlı olacaktır. Bazen sfalerit ve veya kalkopirit içinde, bazende bu minerallerin ara ve çatlaklarında bulunurlar. Bursait en fazla 0.5 mm büyüğünde, heyrovskiyit ise 1.5 mm'ye kadar ulaşır. Ender olarak her iki mineral ile yakından ilişkili olan çok az miktarда bizmutin mevcuttur. Bursait ve heyrovskiyit çoğunlukla daha önce oluşan sülfürlü mineralleri ornatırlar.

Bursait ve heyrovskiyit minerallerinin kristalografik doğrultuları boyunca ayırmış lamelleri şeklinde gelişen bir de Pb-Bi-Te minerali vardır. Lamellerin kalınlığı yaklaşık olarak 10-20 mikron, uzunlukları ise birkaç yüz mikrona ulaşır.

Bursait ve heyrovskiyit mineralleri üzerinde, Zeiss mikrosertlik cihazı kullanılarak yapılan VHN ölçümlerinde 50 gramlık yük ve 15 saniyelik uygulama süresi kullanılmıştır (Bowie ve Taylor, 1958; Parnamaa, 1963; Bowie, 1967; Galopin ve Henry, 1972). Pb-Bi-Te mineralinin boyutları VHN değerlerinin ölçülebilmesi için çok küçüktür. Bu mineraller ile ilgili optik özellikler aşağıda özetlenmiştir.

| Özellik | Bursait | Heyrovskiyit | Pb-Bi-Te min. |
|----------------------|----------------------------------|---|-------------------------|
| Renk | Parlak gri | Gri-beyaz | Sarımsı beyaz |
| Refleksiyon | Galenit gibi | Galenit gibi | Galenitten yüksek |
| Birefleksiyon | Yağda belirgin | Yağda belirgin | Orta |
| Anizotropi | Kuvvetli | Orta | Orta |
| Dilinim ve ikizlenme | Prizmatik uzanıma paralel | Prizmatik uzanıma paralel, basınç ikiz. | |
| Sönme | Prizmatik yüzeye paralel | Prizmatik yüzeyé paralel | Uzun eksene paralel |
| VHN ₅₀ | 218.2 - 243.8 Kg/mm ² | 161.3 - 240.6 Kg/mm ² | |
| Parlatma sert. | >galenit, <sfalerit | >galenit, <sfalerit | <bursait, <heyrovskiyit |

2.3. BURSAIT

2.3.1. Elektron Mikroprob Analizi

Bu çalışmada elektron mikroprob analizleri JXA-50A JEOL elektron mikroprob cihazı kullanılarak yapılmıştır. Cihazın, her-

biri ikişer kristal içeren üç spektrometresi, 35°lik bir yansımaya açısı ve kullanımında çeşitli işlevleri kontrol eden bir küçük bilgisayarlı vardır. Bilgisayar, kristal değiştirme, spektrometrelerin sürekli veya kademeli taraması, x-ışını ölçümü almak, numune ve nu-

| Element | Standart | Spektral çizgi | Kristal ve kanal | Spektrometre konumu (μ) |
|---------|------------|--------------------------|------------------|-------------------------------|
| Pb | PbS doğal | Pb $L\alpha$ Pb $L\beta$ | LiF (3) | 81.70 |
| S | PbS " | S $K\alpha$ | PET (2) | 172.09 |
| Bi | Bi metalik | Bi $L\alpha$ | LiF (3) | 79.52 |
| Sb | Sb " | Sb $L\alpha$ | PET (2) | 110.15 |
| Ag | Ag doğal | Ag $L\alpha$ | PET(2) | 133.06 |
| As | — | As $K\alpha$ | LiF (3) | 73.50 |
| Te | — | Te $L\alpha$ | PET (2) | 105.50 |

Hızlandırma voltajı: 20 KV

Prob akımı: ~ 30000 mA

Tablo 2.1. Pb-sulfominerallerinin kantitatif analizinde uygulanan analiz koşulları.

| CH(1) A.U. | RAP COUNT | CH(2) A.U. | PET COUNT | CH(3) A.U. | LiF COUNT |
|---------------|--------------|---------------|--------------|---------------|--------------|
| 6.25 | 3 \times 2 | 2.67 | 133 | 1. \times 9 | Bi 278 |
| 6.42 | 248 | 2.75 | 1 \times 4 | 1.15 → | 1576 |
| 6.46 | 247 | 2.78 | 1 \times 3 | 1.18 → | 4316 |
| 6.79 | 214 | 2.89 | 88 | 1.21 | Pb 214 |
| 6.84 | 213 | 3.15 | 62 | 1.24 | 215 |
| 7. \times 9 | 159 | 3.29 | 65 | 1.26 | 22 \times |
| 7.14 | 139 | 3.36 | 59 | 1.28 | 2 \times 9 |
| 7.29 | 137 | 3.44 | 57 | 1.31 | 247 |
| 7.33 | 124 | 3.6 \times | 35 | 1.34 | 23 \times |
| 8.3 \times | 69 | 3.74 | 31 | 1.35 | 3 \times 4 |
| 8.35 | 67 | 3.77 | 3 \times | 1.39 | 152 |
| 8.4 \times | 58 | 3.91 | 17 | 1.43 | 142 |
| 8.67 | 63 | 3.96 | 11 | 1.44 | 165 |
| 8.96 | 48 | 4.14 Ag | 13 | 1.48 | 131 |
| 9. \times 0 | 48 | 4.15 → | 21 | 1.52 | 1 \times 4 |
| 9.64 | 27 | 4.37 | 12 | 1.54 | 132 |
| 9.68 | 35 | 4.5 \times | 8 | 1.57 | 118 |
| 9.85 | 32 | 4.6 \times | 14 | 1.66 | 89 |
| 9.9 \times | 35 | 4.73 Bb | 14 | 1.73 | 8 \times |
| 10.25 | 75 | 5.12 → | 531 | 1.79 | 75 |
| 11.87 | 9 | 5.28 Pb | 996 | 1.84 | 66 |
| | | → | | | |
| 11.92 | 16 | 5.37 S | 821 | 1.94 | 61 |
| | | → | | | |
| 12.31 | 15 | 5.41 | 23 | 1.99 | 51 |
| 13.98 | 8 | 5.67 | 11 | 2.1 \times | 42 |
| 13.98 | 9 | 5.72 | 15 | 2.16 | 32 |
| 13.98 | 5 | 5.84 | 8 | 2.29 | 12 \times |
| 13.98 | 13 | 6. \times 7 | 8 | 2.35 | 232* |
| 13.98 | 9 | 6.15 | 8 | 2.51 | 18* |

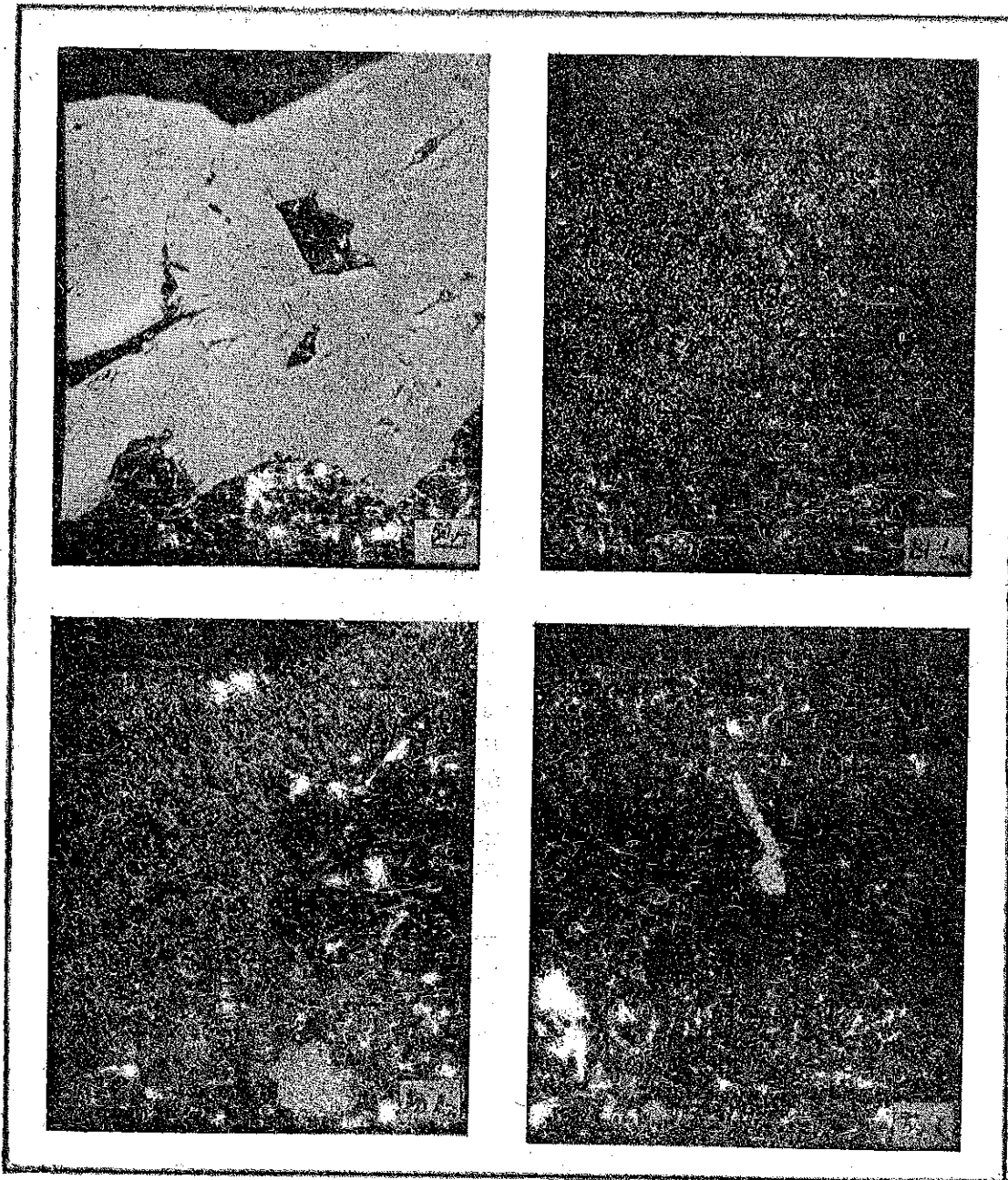
Tablo 2.2. Balya bursait mineralinin kalitatif elektron mikroprob analizi.

Pb, Bi, S ve Ag elementleri algılanmıştır.

mune akımının denetlenmesi gibi işlevleri dışında; alınan ölçümlerin yanında veya daha sonra düzeltilemesini çeşitli programların kullanılması ile gerçekleştirir. Cihaz aynı anda üç elementi analiz edebilir. Bilgisayar programları kağıt şerit üzerinde olup, esas olarak kalitatif, kantitatif ve iz element analiz işlevlerini görür. Bu çalışmada kullanılan analiz koşulları Tablo (2.1)'de verilmiştir.

Balya bursait mineralinin kalitatif elektron mikroprob analizi Tablo (2.2) da verilmiştir. Bu mineralin Pb, Bi, S ve Ag elementlerinden olduğu görülmektedir. Ag eser oranda, diğer elementler ise ana oranlarda mevcutturlar. Tablodada yapılan incelemede Balya bursait mineralinde, sulfominerallerde sık sık görülen Fe, Cu, Zn, Se veya Te gibi elementlerin eser oranda olsa bile mevcut olmadıkları belirlenmiştir. Minerali oluşturan ana elementlerin karakteristik spektral çizgileri (Pb $L\alpha$, Bi $L\alpha$, ve Ag $L\alpha$) kullanılarak geri yansıyan elektron ve x-ışını tarama fotoğrafları çekilmiştir (Şekil 2.1). Bu fotoğraflardan da görüleceği gibi bu elementler oldukça homojen bir dağılım gösterirler, ancak bursaitin kristalografik doğrultuları boyunca bir Pb-Bi-Te mineralinin ayrılmalar şeklinde büyümüş olduğu izlenebilir.

Balya bursait minerali için beş ayrı örnekte yapılan toplam 10 kantitatif analiz sonucu Tablo (2.3) da verilmiştir.



Şekil 2.1. Pb-Bi-Te minerali ayrışım setleri halinde bursait minerali içinde görülmektedir. Ayrışım setleri arasındaki açı yaklaşık olarak 80°dir ($\times 1000$).

Tablo (2.3)'den de görüldüğü gibi, analiz sonuçları büyük bir değişim aralığı göstermezler. Sonuçlardaki standart sapma değerlerinin küçük oluşu ($Pb = \pm \% 0.48$, $Bi = \pm \% 0.19$, $Ag = \pm \% 0.04$, $S = \pm \% 0.30$) bunu kanitlar niteliktedir.

Sonuçların ortalaması kullanılarak yapılan kristal-kimyasal hesaplamada bu minera- lin formülünün $Pb_{5.40} Bi_{4.00} S_{11.52}$ olduğu sap-

tanmıştır. Ag değerinin çok küçük oluşu nedeniyle, hesaplamaya katılmamıştır. Elde edilen bu bağıntının bursaitin teorik formülü olan $Pb_5Bi_4S_{11}$ ile özdeş olabileceği sanılmaktadır.

Pb-Bi sulfominerallerinde S elementinin mineral stokiyometrisi üzerindeki etkisini kaldırmak için Pb/Bi oranının esas alınabileceği ortaya çıkarılmıştır. Bunun için bilinen Pb-Bi

| Element | 1 | 2 | 3 | 4 | 5 | 6 | 7 | 8 | 9 | 10 | Ortalama |
|---------|--------|-------|-------|--------|-------|--------|-------|--------|--------|-------|----------|
| Pb | 46.80 | 46.35 | 46.75 | 47.45 | 47.27 | 47.93 | 46.90 | 47.65 | 47.35 | 46.87 | 47.13 |
| Bi | 36.76 | 36.40 | 36.55 | 36.44 | 36.25 | 36.42 | 36.55 | 36.79 | 36.68 | 36.85 | 36.57 |
| Ag | 0.45 | 0.42 | 0.45 | 0.46 | 0.47 | 0.46 | 0.48 | 0.46 | 0.43 | 0.46 | 0.45 |
| S | 16.24 | 16.21 | 15.97 | 15.86 | 15.63 | 15.60 | 15.88 | 15.22 | 15.70 | 15.70 | 15.80 |
| Toplam | 100.25 | 99.38 | 99.72 | 100.21 | 99.62 | 100.41 | 99.81 | 100.12 | 100.36 | 99.88 | 99.95 |

Tablo (2.3); Balya bursait mineralinin kantitatif elektron mikroprob analizleri.

sulfominerallerinin Pb/Bi oranına karşılık S %'delerinin grafikleri çizilerek, doğrusal bir ilişkinin olduğu gözlenmiştir (Şekil 2.2.). Bu na dayanarak S sonuçlarına taklaşık olarak % 2'lik ampırik bir düzeltme uygulanmıştır.

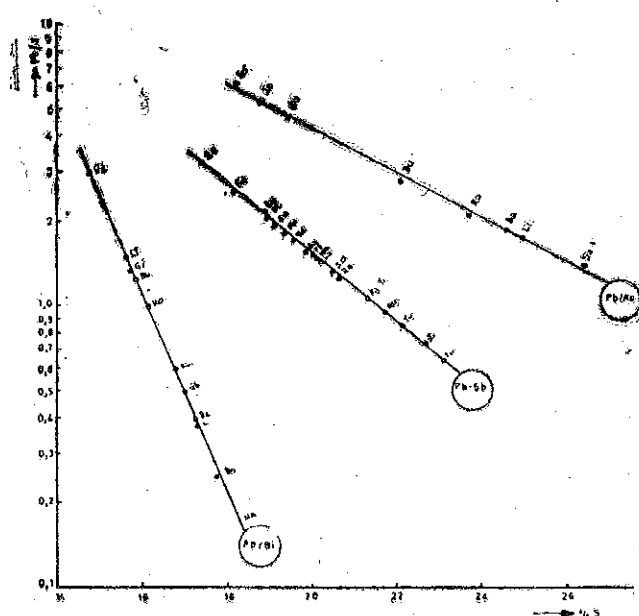
Pb-Bi sulfominerallerinin kantitatif elektron mikroprob analizlerinde içerdikleri yüksek atom numaralı elementlerin (Pb ve Bi) düzeltme faktörlerinin tam olarak bilinmemişleri nedeniyle (Kiranenko ve diğ., 1963; Czamanske ve Hall, 1975) çoğunlukla bu tür analizlerde gerekçeli ampırik düzeltmeler uygulanmaktadır.

2.3.2. Balya Bursait Mineralinin Bursa-Uludağ Bursait Minerali ile Karşılaştırılması.

Bursait minerali üzerindeki belirsizlik, daha ziyade konu ile ilgili, çok az çalışmanın yapılmış olmasından kaynaklanmaktadır. Mineralin kimyasına yönelik çalışmalar oldukça azdır. Bunlardan ilki Tolun (1954/55) yaş kimyasal yöntemle, daha sonra Klominsky ve diğ., (1971) ile Aydin (1979) mineralin elektron mikroprob analizlerini yapmışlardır. Bursa-Uludağ bursait mineralinin elektron mikroprob analizleri bazı farklılıklar dışında birbirine benzerken, yaş kimyasal yöntemle yapılan analiz değerleri ile önemli farklılıklar gösterirler (Tablo 2.4).

Bursait mineralinin içeriği Fe ve Zn, Ag ile beraber kristal-kimyasal nedenlerden dolayı kristal içinde Pb ile aynı kristalografik konumları alırlar (Nowacki, 1969, 1971). To-

lun'un (1954/55) analizlerindeki yüksek Fe ve Zn değerlerinin, doğru olduğu kabul edilirse, bazı kristal-kimyasal zorlamaların ortaya çıkması kaçınılmazdır. Bu çalışmacının analizlerindeki farklılığın yaş kimyasal analiz için yapılan zenginleştirme sorunundan kaynaklandığı sanılmaktadır.

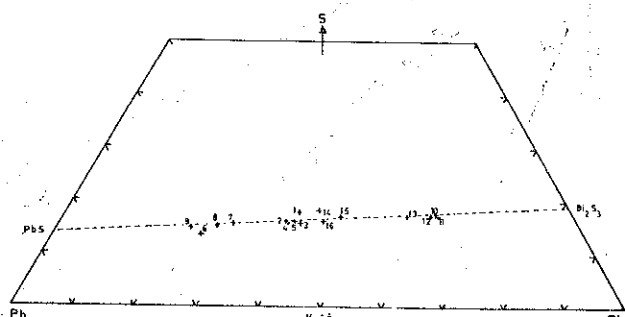


Şekil 2.2. Pb-Bi, Pb-Sb ve Pb-As sulfominerallerinin teorik formülleri kullanılarak her biri için Pb/X oranları (X = Bi, Sb, As) hesaplanmış, bulunan bu değerlerin % S içeriklerine karşı grafikleri çizildiğinde doğrusal bir ilişkinin mevcut olduğu görülmüştür. Bu şeviden de görüldüğü gibi en dar S değişim aralığı Pb-Bi sulfominerallerinde; en geniş S aralığı ise Pb-AS sulfominerallerinde görülmektedir.

| Element | Bursa - Uludağ | | | | | | Balya | Teorik |
|---------|------------------|----------------------------|-------------|-------|-------|-------------------------|---|--------|
| | Tolun 1954/55 | Klominsky ve diğ., 1971 | Aydın, 1979 | | | Bu çalışma 10 analiz | Pb ₅ Bi ₄ S ₁₁ | |
| Pb | 39.62 | 45.0 | 44.6 | 45.61 | 46.01 | 46.84 | 47.13 | 46.57 |
| Bi | 37.60 | 38.5 | 39.3 | 37.17 | 35.20 | 35.96 | 36.57 | 37.58 |
| Ag | - | 1.0 | 1.0 | 0.40 | 1.03 | 0.86 | 0.45 | |
| Zn | 3.18 | - | - | 0.88 | 0.90 | 0.62 | | |
| Fe | 1.98 | - | - | 0.06 | 0.04 | 0.09 | | |
| S | 17.32 | 15.9 | 16.1 | 15.59 | 16.03 | 15.98 | 15.80 | 15.85 |
| Toplam | 99.70 | 100.4 | 101.0 | 99.71 | 99.21 | 100.35 | 99.95 | 100.00 |
| Pb/Bi | 1.05 | 1.15 | | 1.28 | | | 1.29 | 1.24 |

Tablo (2.4); Bursa ve Balya'da bulunan bursait mineralinin üzerinde yapılan çalışmalar.

Analiz sonuçları bursait mineralinin teorik kimyasal bileşimi ile karşılaştırıldığında,



Sekil 2.3. Balya bursait minerali ile yakın ilişkide olan sulfomineraller.

Bursait : 1 — Tolun (1954/55), 2 — Aydın (1979), 3 — Klominsky ve diğ..

Heyrovskyt : 4 — Bu çalışma (10 analiz ortalaması), 5 — teorik bursait

Pb-Bi-Te Minerali: 6 — Bu çalışma (10 analiz ortalaması), 7-8 — Klominsky ve diğ.. 1971, 9 — teorik heyrovskyt

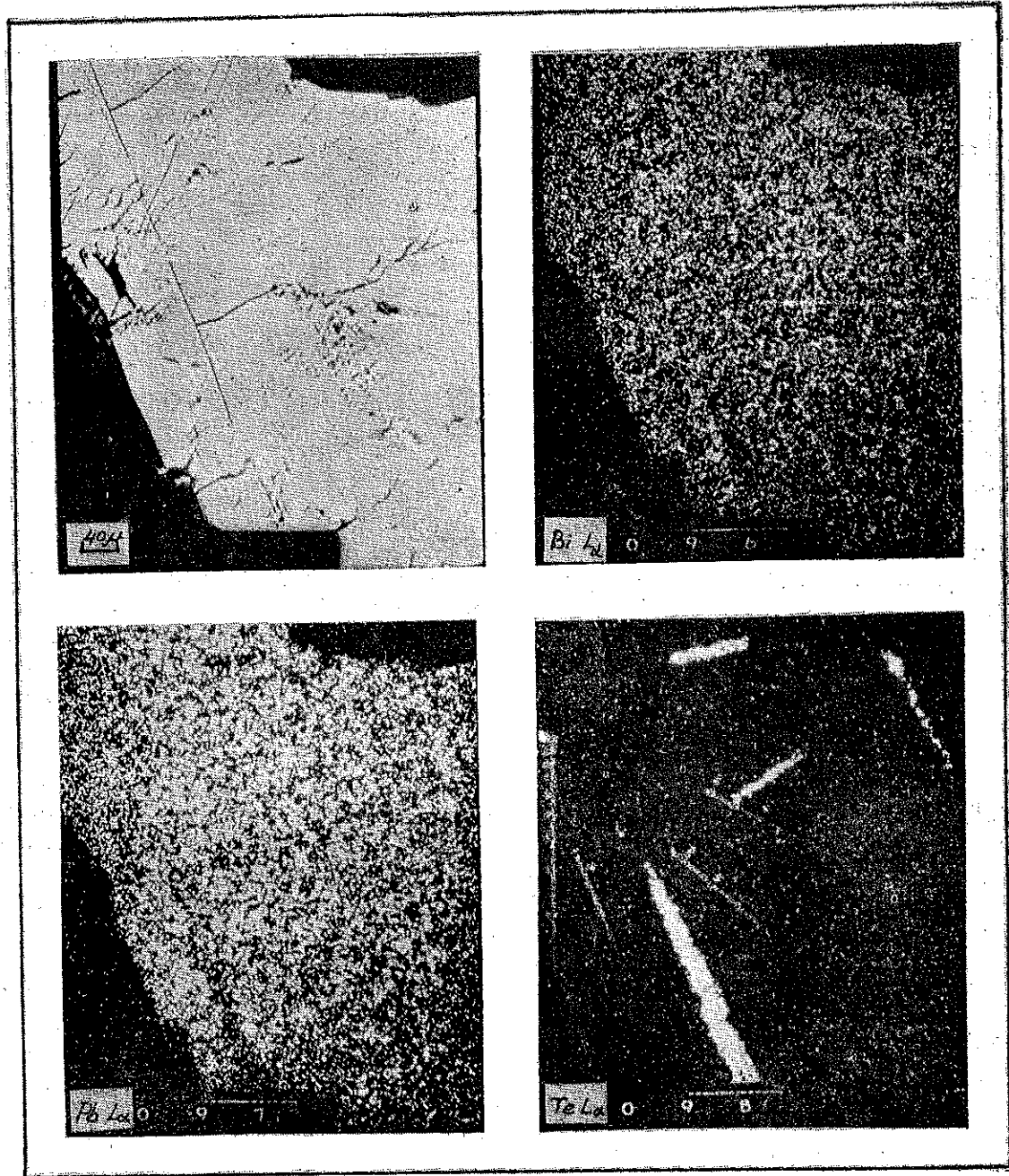
Kozalit-Bursa : 10 — Bu çalışma (5 analiz ortalaması), 11 — teorik çivitait, 12 — teorik rezbanyit, 13 — teorik galenobizmutin

Kombinasyon : 14 — Kumbasar ve Atesok (1979), 15 — Klominsky ve diğ., 1971 16 — teorik kozalit

elektron mikroprob ile yapılan analizlerin, çok küçük farklarla doğru olduğu görülür. Analizlerin Pb/Bi oranları 1.05 - 1.28 arasında değişirken, teorik Pb/Bi oranına (=1.24) en yakın olan değer (=1.28), yazarın bursait üzerinde yaptığı analizlerden gelmektedir. Buna karşın, Klominsky ve diğ., (1971) analizlerindeki Pb/Bi oranı (=1.15) düşük olmakla beraber, Tolun'un (1954/55) sonuçlarındaki aynı oran (1.05) teorik değerden oldukça uzaktır.

Balya'dan alınan örneklerde belirlenen Pb-Bi sulfominerallerinden biri olan bursait, ilk defa olarak, bu mineralin ilk bulunduğu yerin (Bursa-Uludağ) dışında bulunmuş olmaktadır. Ancak, her iki lokalite de aynı metaloje-nik zon içinde bulunmaktadır. Dolayısıyla, benzer grup mineralerin aynı zon içinde bulunabileceğinin olasılığı vardır. Böyle bir olasılıktan bahsederken bu zon içindeki cepheler oluşma koşullarının bazı ortak noktalarının olabileceği varsayılmaktadır. Bu konuya daha sonra değinilecektir.

Bursait ile ilgili analiz sonuçları ve yakın ilişkide olan diğer sulfomineraller bir üçgen diyagramda çizilmişlerdir (Şekil 2.3). % ağır-



Sekil 2.4. Balya sondaj örneklerinde rastlanan heyrovskiyit mineralinin geri yansıyan elektron ile Pb La, Bi La ve Te La çizgileri kullanılarak alınan x - ışını görüntüleri.

lk cinsinden alınan değerlerin $PbS \cdot B_2S_3$ çizgisi etrafında toplandıkları görülmektedir. Balya örneklerinde saptanan heyrovskiyit, bursait ve Pb-Bi-Te minerali artan şekilde Bi içeriğine sahiptirler.

Bursa-Uludağ skarn cevherleşmesinde bursait ile aynı parajenezde olan kozalit Klor-

Heyrovskiyit mineralinin içinde ayrılmış şeklinde büyuen Pb-Bi-Te mineralinin boyu 150μ , kalınlığı ise 20μ kadardır (x300).

minsky ve diğ., (1971) ile Kumbasar ve Ateşok (1979) tarafından saptanmıştır. Bursait, heyrovskiyit ve kozalit minerallerinin analizleri aynı minerallerin teorik kompozisyonları ile; Pb-Bi-Te mineralinin analizi ise en yakın kompozisyonundaki sulfominerallerle (Çivitalt, rezbanyit ve galenobizmutit) karşılaştırılmış-

| Element | 1 | 2 | 3 | 4 | 5 | 6 | 7 | 8 | 9 | 10 | Ortalama |
|---------|---------|--------|--------|--------|--------|--------|--------|--------|--------|--------|----------|
| Pb | 62.53 | 62.55 | 62.32 | 62.56 | 62.61 | 62.66 | 62.18 | 64.56 | 62.45 | 61.99 | 62.44 |
| Bi | 23.83 | 23.64 | 24.02 | 24.15 | 23.92 | 24.12 | 23.25 | 23.46 | 23.85 | 24.03 | 23.83 |
| Ag | 0.41 | 0.43 | 0.43 | 0.44 | 0.41 | 0.40 | 0.42 | 0.44 | 0.38 | 0.43 | 0.42 |
| S | 15.09 | 14.85 | 14.98 | 15.05 | 14.71 | 15.01 | 14.51 | 14.78 | 15.16 | 14.96 | 14.91 |
| Toplam | 101.186 | 101.47 | 101.75 | 102.20 | 101.65 | 102.19 | 100.36 | 103.24 | 101.84 | 101.41 | 101.60 |

Tablo 2.5. Balya heyrovskiyit mineralinin kantitatif elektron mikroproblem analizleri.

tir. Şekil (2.3)'daki noktaların PbS - Bi_2S_3 çizgisi etrafındaki dağılımları, ya analizlerdeki farklılıklardan veya bu minerallerin herbiri-nin birer katı çözelti oluşturduğunun belirtisi olabilir. Birinci nedenin geçerliliği her analizde söz konusu olabilir, ancak ikinci nedenin, yani bu tür minerallerin birer katı çözelti oluşturabilmeleri de aynı derecede geçerlidir (Nedachi ve diğ., 1973).

2.4. HEYROVSKYİT

2.4.1. Elektron Mikropob Analizi

Heyrovskiyit mineralinin Pb, Bi ve S, eser element olarak da Ag ile Sb içerdığı belirlenmiştir. Bursait mineralinde olduğu gibi Fe, Cu, Zn, Te veya Se gibi elementler heyrovskiyit içinde de mevcut değildir. Aradaki tek fark-

lilik heyrovskiyitin eser oranda Sb içermesidir.

Heyrovskiyit içinde, bursait mineralinde olduğu gibi, kristalografik doğrultular boyunca, ayrışımalar şeklinde $\text{Pb}-\text{Bi}-\text{Te}$ mineral iameçikleri mevcuttur (Şekil 2.4).

Analiz toplamlarının genellikle yüksek olup % 1.8'e yaklaşan bir sapma gösterirler Tablo (2.5). Analizlerin standart sapma değerleri oldukça düşüktür ($\text{Pb} = \pm \% 0.21$, $\text{Bi} = \pm \% 0.29$, $\text{S} = \pm \% 0.20$, $\text{Ag} = \pm \% 0.04$).

Bursaitin analizlerine uygulandığı gibi Pb/Bi oranı esas alınabileceğinden sulfomineraller için ortaya çıkarılan doğrusal ilişki dikate alınarak, heyrovskiyit analizlerindeki S değerlerine benzer nitelikte bir empirik düzeltmenin (yaklaşık olarak % 2) uygulanması doğru bulunmuştur.

| Element | Balya | | | Çekoslovakya-Hurky | | | Teorik $\text{Pb}_6\text{Bi}_2\text{S}_9$ |
|---------|-------------------------|-------------------------|-------|--------------------|-------|------|--|
| | Bu çalışma 10 analiz | Klominsky ve diğ., 1971 | | | | | |
| Pb | 62.44 | 53.6 | 54.7 | 58.6 | 58.0 | 57.4 | 63.83 |
| Bi | 23.83 | 28.3 | 27.7 | 24.9 | 26.3 | 25.9 | 21.44 |
| Ag | 0.42 | 2.5 | 2.5 | 1.1 | 1.1 | 1.1 | - |
| S | 14.91 | 15.2 | 15.2 | 15.0 | 15.2 | 15.0 | 14.73 |
| Toplam | 101.60 | 99.7 | 100.1 | 99.7 | 100.7 | 99.5 | 100.00 |
| Pb/Bi | 2.62 | 1.93 | | 2.26 | | | 2.98 |

Tablo (2.6); Balya'da septanen heyrovskiyit ile Çekoslovakya-Hurky'de bulunan aynı mineralin analizlerinin karşılaştırılması.

| CH(1) A.U. | RAP COUNT | CH(2) A.U. | PET COUNT | CH(3) A.U. | LIF COUNT |
|---------------|--------------|---------------|--------------|---------------|--------------|
| 6.25 | 113 | 2.67 | 64 | 1.09 | 114 |
| 6.42 | 94 | 2.75 | 68 | 1.15 | 780 Bi |
| 6.46 | 109 | 2.78 | 60 | 1.18 | 510 Pb |
| 6.79 | 83 | 2.89 | 54 | 1.21 | 99 |
| 6.84 | 65 | 3.15 | 41 | 1.24 | 102 |
| 7.09 | 73 | 3.29 | 72 | 1.26 | 105 |
| 7.14 | 70 | 3.36 | 40 | 1.28 | 104 |
| 7.29 | 55 | 3.44 | 45 | 1.31 | 104 |
| 7.33 | 53 | 3.60 | 17 | 1.34 | 102 |
| 8.30 | 30 | 3.74 | 21 | 1.35 | 100 |
| 8.35 | 34 | 3.77 | 26 | 1.39 | 75 |
| 8.40 | 29 | 3.91 | 8 | 1.43 | 72 |
| 8.67 | 29 | 3.96 | 11 | 1.44 | 65 |
| 8.96 | 24 | 4.14 | 5 | 1.48 | 57 |
| 9.00 | 23 | 4.15 | 5 | 1.52 | 54 |
| 9.64 | 23 | 4.37 | 9 | 1.54 | 64 |
| 9.68 | 13 | 4.50 | 6 | 1.57 | 64 |
| 9.85 | 57 | 4.60 | 9 | 1.66 | 46 |
| 9.90 | 25 | 4.73 | 7 | 1.73 | 49 |
| 10.25 | 48 | 5.12 | 48 | 1.79 | 47 |
| 11.87 | 7 | 5.28 | 23 | 1.84 | 33 |
| 11.92 | 5 | 5.37 | 52 | 1.94 | 28 |
| 12.31 | 10 | 5.70 | 8 | 1.99 | 24 |
| 13.98 | 3 | 5.67 | 3 | 2.10 | 20 |
| 13.98 | 2 | 5.72 | 4 | 2.16 | 19 |
| 13.98 | 5 | 5.84 | 4 | 2.29 | 48 |
| 13.98 | 3 | 6.07 | 3 | 2.35 | 27 |
| 13.98 | 6 | 6.15 | 13 | 2.51 | 12 |

Tablo 2.7. Bursait ve heyrovskit ile yakın ilişkide bulunan Pb-Bi-Te mineralinin kalitatif elektron mikroprob analizi.

Pb, Bi, Te ve S elementleri algılanmıştır.

Bu şekilde düzeltilen sonuçların ortalaması kullanılarak yapılan kristal-kimyasal hesaplamada Balya heyrovskit mineralinin formülü $Pb_{5.46} Bi_{2.00} S_{8.54}$ olarak bulunmuştur. Bu formül heyrovskitin teorik formülü olan $Pb_6Bi_2S_9$ ile çok yakın benzerlik göstermektedir (Ramdohr, 1975).

Balya'da saptanan heyrovskit ile Çekoslovakya-Hurky'de ilk defa bulunan heyrovskitin analizleri arasında yakın ilişki olmasına karşı bazı farklılıklar da vardır (Tablo 2.6).

Klominsky ve diğ.'nin (1971) analizleri bir yandan kendi aralarında, diğer yandan, Balya heyrovskitinin analiz sonuçları ile de farklılık gösterirler. Yazarlar sonuçların kendi aralarında farklılık göstermelerini bazı örneklerde heyrovskitin kozalitten sonra pseudomorflaşmasına bağlarken, bunun sistemin genel kimyasını etkilemediğini ileri sürerler. Sistemin genel kimyasında bir değişiklik olmasıydı, en azından farklı analiz koşulları uygulanmamışsa, Pb/Bi oranlarının o kadar düşük ve değişken olmaması gerekiirdi (1.93 ve 2.26). Buna karşın Balya heyrovskitinin Pb/Bi oranı (=2.62), teorik Pb/Bi oranına (=2.98) daha yakındır (Tablo 2.6).

2.5. Pb-Bi-Te SULFOMİNERALI

2.5.1. Elektron Mikroprob Analizi

Te-mineralinin kalitatif analizi sonucunda Pb, Bi, Te ve S elementlerinden oluşan saptanmıştır (Tablo 2.7). Tablodan eser oranında Cr gözüküyorsa bunun parlatma sırasındaki kontaminasyondan ileri geldiği sanılmaktadır. Te ve S elementleri ile kolayca izomorf ilişki südürebilen Se elementi ise mevcut değildir.

Te elementi için standart örnek olmadığından bu elementin konsantrasyonu fark-

| Element | 1 | 2 | 3 | 4 | 5 | Ortalama |
|---------|--------|--------|--------|--------|--------|----------|
| Pb | 23.41 | 22.70 | 22.17 | 22.35 | 22.58 | 22.64 |
| Bi | 59.76 | 62.65 | 59.06 | 58.57 | 60.67 | 59.94 |
| S | 5.64 | 5.97 | 6.30 | 7.16 | 7.12 | 6.44 |
| Te | 11.19 | 9.68 | 12.47 | 11.92 | 9.63 | 10.98 |
| Toplam | 100.00 | 100.00 | 100.00 | 100.00 | 100.00 | 100.00 |

Tablo (2.8); Balya örneklerinde rastlanan Te-mineralinin kantitatif elektron mikroprob analizleri.

tan hesaplanmıştır. Te-minerali için toplam olarak 5 noktada analiz yapılmıştır (Tablo 2.8).

Tablo 2.8. Balya örneklerinde rastlanan Te-mineralinin kan-

Analizlerin ortalamalarının kullanılarak yapılan kristal-kimyasal hesaplamada bu mineralin formülünün $Pb_{1.22} Bi_{3.22} S_{2.22} Te_{1.00}$ olduğu saptanmıştır. Sadeleştirilecek olursa bu formül $PbBi_3S_2Te$ veya $PbBi_3(S, Te)_3$ şeklinde yazılabilir.

Yukarıda bulunan formülde elektron dengelemesi yapılacak olursa Te elementinin buradaki değerliliğinin (-7) olduğu görülür. Bu elementin değerliliği çeşitli minerallerde farklıdır, örneğin -1, -2, -3 ve -7 olabilir.

2.5.2. Te-mineralinin Diğer Minerallerle Olan İlişkisi

Balya örneklerinde saptanan Te-minerali bilinen tellüritlere göre büyük farklılıklar gösterir (Ramdohr, 1969; Uytjenbogaardt ve Burke 1971; Sarkar, 1969). Bu mineral bünyesinde yaklaşık olarak % 23 Pb ve % 60 Bi içeriği için bir Pb-Bi sulfominerali olarak mı, yoksa % 11 kadar Te içeriğine bakılırsa, bir tellürit olarak mı kabul edilmelidir?

Kristal-kimyasal formülü Pb Bi₃ Te S₂ olarak hesaplanan bu mineral bilinen tellüritlerle karşılaştırıldığında yüksek orandaki Pb

içeriği nedeniyle bir tellürit olamayacağı görürlür. Örneğin tedralomit (Bi_2Te_2S) tellürbizmutit (Bi_2Te_3), grunlingit (Bi_4TeS_3), jozeit [$Bi_4(Te, S)_3$], ikunolit [$Bi_4(S, Se)_3$], pilsenit (=verlit) (Bi_3Te_2) ve hedleyit (Bi_7Te_3). Gördüğü gibi bunların hiç birinde Pb mevcut değildir. Ayrıca Bi elementinin bir kısmının yerine Pb elementinin girmesi olasılığı, bir başka deyişle $Pb \rightleftharpoons Bi$ izomorf ilişkinin gelişmiş olması, bilinen kurallar dışında kaldığı için, olası değildir. Bu nedenle Balya örneklerinde saptanan Te-minerali bir tellürit çeşidi olarak kabul edilemez.

Te-mineralinin Pb-Bi sulfomineral grubunun Te içeren bir türü olması daha büyük bir olasılıktır. Pb - Bi sulfomineralerinde ve genel olarak $Te \rightleftharpoons S$ izomorf ilişkisi yaygındır. Kristal-kimyasal olarak Te ile S elementlerinin periyodik tabloda aynı grupta olmaları nedeniyle bunun gerçekleştmesi çok kolaydır. Balya Te-mineralinin, içinde bulunduğu sulfomineralerle (bursait ve heyrovsyit) olan ilişkisine (tipik eksolüsyon) ve Pb/Bi oranına bakıldığından bunun Te içeren bir Pb-Bi sulfominerali olabileceği savı kuvvet kazanmış olur (Tablo 2.9).

Şimdiden saptanan Pb-Bi sulfomineralerinde yapılan bir çalışma ile Pb/Bi oranları ile S yüzdesleri arasında doğrusal bir ilişkinin varlığı ortaya konulmuştur. Buna göre Balya örneklerindeki Te içeren mineral civi-

| Element | Bu çalışma $PbBi_3TeS_2$ | Çivitait $Pb_3Bi_8S_{15}$ | Rezbanyit $Pb_4Bi_{10}S_{19}$ | Galenobizmutit $PbBi_2S_4$ |
|---------|-----------------------------|------------------------------|----------------------------------|-------------------------------|
| Pb | 22.64 | 22.40 | 23.49 | 27.50 |
| Bi | 59.94 | 60.26 | 59.24 | 55.48 |
| Te | 10.98 | | | |
| S | 6.44 | 17.34 | 17.27 | 17.02 |
| Toplam | 100.00 | 100.00 | 100.00 | 100.00 |
| Pb/Bi | 0.38 | 0.37 | 0.40 | 0.50 |

Tablo (2.9); Balya Te-mineralinin diğer minerallerle olan ilişkisi.

tait, rezbanyit ve galenobizmutit ile karşılaştırılabilir. Böyle bir karşılaştırma yapılrken mineraldeki $S+Te=17.42$ otoplama dikkate alınmıştır (Şekil 2.3).

Bu mineral üzerinde daha ayrıntılı bir çalışma yapılmadıkça, özellikle x-işını kırınım analizi ile tamamlanan, kesin olarak tanımlanması olanaksızdır. Yukarıdaki irdelemelerden bu mineral fazının büyük olasılıkla Te-çivitit veya Te-rezbanyit; daha zayıf bir olasılıkla Te-galenobizmutit olabileceği sonucuna varılmıştır.

3. Pb-Sb/As SULFOMİNERALLERİ

3.1. Balya Pb-Sb/As Sulfominerallerin bulunusu.

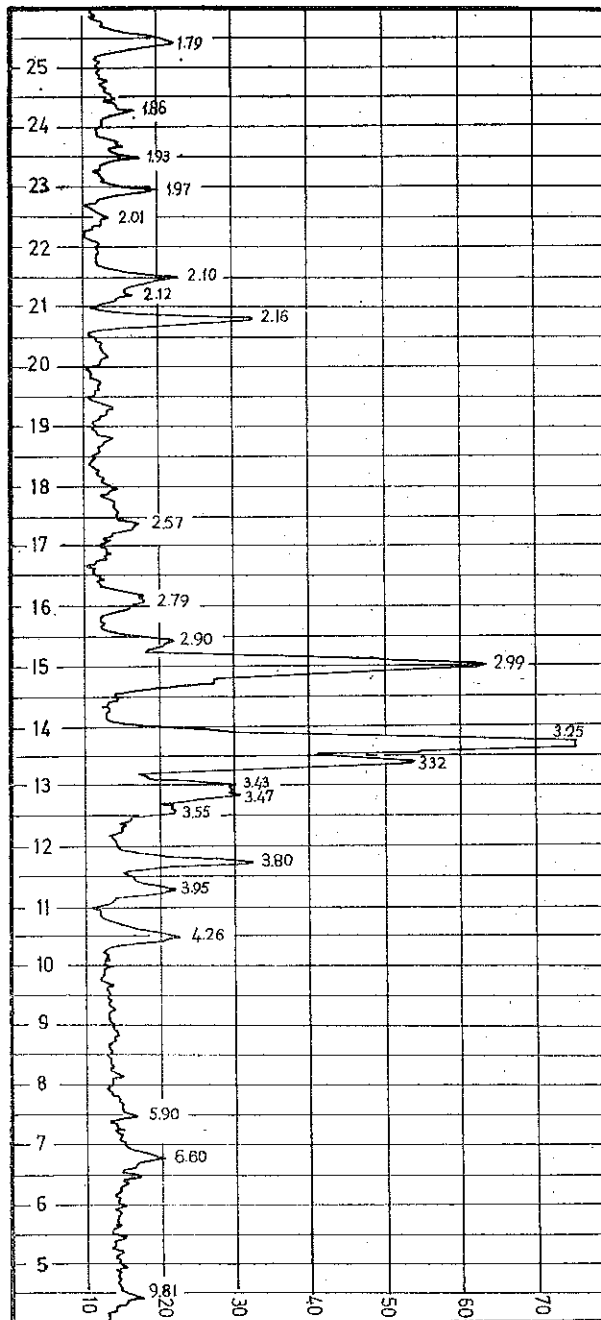
Balya sondaj karotlarından hazırlanan parlatma örneklerinde yapılan maden mikroskopu çalışmaları sonucunda Pb-Bi sulfominerallerinden başka, ayrıca üç farklı Pb-Sb/As sulfomineralinin mevcut olduğu gözlenmiştir.

BS.15 ve BS.20 no.lu sondajların çeşitli seviyelerinden hazırlanan parlatmaların bazlarında Pb-Bi ve Pb-Sb/As sulfomineral bireyleri beraber görülmelerine karşın; BS.16 no.lu sondajın örneklenen kısmında sadece Pb-Sb/As sulfominerallerine rastlanmıştır. Pb-Sb/As sulfomineralleri, diğer sulfomineral bireyleri gibi, bazen daha önce kristalize olan mineraliler, örneğin, pirit, galenit, kalkopirit ve sfaleriti ornatın faz olarak, bazen de çatlak ve boşluklarda karbonatlı matrika içinde gözlenmişlerdir. Ayrıca çamurtaşı seviyeleri arasında monomineralik bantlar şeklinde de görürlürler.

Pb-Sb/As sulfomineralleri üzerindeki çalışmalar maden mikroskopu ile başlayarak, x-işını kırınım ve elektron mikroprob analizleri ile sonuçlandırılmıştır. Bu çalışmalar sonucunda özellikle bantlar halinde gelişen jeokronit ile öz şekilli veya öz şekilsiz büyüyen plajionit ve tvinnit-guetardit gibi mineraller saptanabilmiştir. Bu mineralerden sadece jeokronit daha önce Balya örneklerinde belirlenmiştir (Gjelsvik, 1962).

Elektron mikroprob verilerine dayanarak, bu mineralerde, en geniş anlamda $Sb \rightleftharpoons As$

izomorf ilişkisinin mevcut olduğu görülmüştür. Bu nedenle bu mineralerden bahsederken Pb-Sb yerine Pb-Sb/As sulfomineralleri olarak bahsetmenin daha doğru olacağı inanılmaktadır. Aşağıda bu mineralere ait ayrıntılı tanım ve bulgular sunulmuştur.



Şekil 3.1. Balya sondaj karotlarında saptanan Pb-Sb/As sulfominerallerinin x-işını röntgen difraksiyon diyalogramı.

Bazı yansımaların çıkışmasına rağmen plajionit ve tvinnit mineralerini tanımlanabilmektedir.

3.2. Balyada saptanan Pb-Sb/As sulfominerallerinin optik özellikleri

Sondaj karotlarında hazırlanan parlatmalarda Pb-Bi sulfomineralleri ile beraber, arasında geniş izomorf ilişki gösteren plajionit, tvinnit ve jeokronit olduğu belirlenen üç farklı Pb-Sb/As sulfominerali saptanmıştır. Bu mineral fazları çoğunlukla ikincil olusumlu kalsit damarları içinde, sfalerit ve veya kalkopirit ile beraber, bazende bantlar şeklinde gelişmişlerdir. Pb-Sb/As mineral fazları genellikle galeniti, bazende diğer sülfürlü mineralleri ornatırlar.

Plajionit ince prizmatik levhalar veya boyutları 1-1,5 mm ye varan agregatlar şeklinde bulunurlar. Refleksiyonu galenite benzer, ancak yeşilimsi bir ton ile farklılık gösterir, kuvvetli anizotropisi ile ayırt edilir. Mineralin uzun eksene paralel olan dilinimi ve bu na eğik olan bir sömnesi vardır. Plajionitin en tipik özelliği agregat durumda olduğu zaman yüzeyinin çok sayıda, bir kaç mikron çapında, yuvarlak siyah lekeler içermesidir. Bu mineralin VHN_{50} değeri 114.2 - 129.1 kg/mm² olarak ölçülmüştür.

Tvinnit genellikle plajionit agregatlarının etrafında işinsal çubukçuklar şeklinde gelişmiştir. Parlak grimsi-beyaz rengi, belirgin birefleksiyonu ve prizmatik uzanıma paralel polisentetik ikitlenmesi vardır. Kristallerin kalınlığı 5 - 30 mikron arasında değişirken, uzunlukları birkaç yüz mikrona varır. Kuvvetli anizotropisi ve eğik sömnesi vardır. Dilinimi uzun eksene paraleldir. Tvinnit mineralinin VHN_{50} değeri 142.6 - 161.0 kg/mm² arasında değişir.

Jeokronit çamurtaşı seviyeleri arasında, birkaç mm kalınlıkta, bantlar şeklinde bulunabildiği gibi, daha önceki sülfit minerallerini, özellikle kalkopiriti ornatıldığı da görülür. Kalkopiriti ornatıldığı durumlarda kristallerin şekli baklava dilinimini andırır. Jeokronit yeşilimsi tonu olan parlak beyaz bir renk gösterir. Refleksiyonu oldukça yüksektir. Zayıf bir dilinimi ve belirgin bir ikitlenmesi vardır. Anizotropi ve birefleksyon yağ ortamında da ha açık görülebilir. Bu mineralin VHN_{50} değerleri 150.2 - 183.7 kg/mm² arasında değişir.

3.3. PLAJİONİT

3.3.1. X-ışını Kirinim (Röntgen Difraktometre) Çalışmaları

Balya örneklerinde Pb-Sb/As sulfominerallerinin dağılımı Pb-Bi sulfominerallerine oranla daha fazla olduğu için x-ışını kirinim çalışmalarına teşebbüs edilmiştir. Pb-Sb/As sulfominerallerinin x-ışını kirinim çalışmaları Philips difraktometresinde Cu K α radyasyonu kullanılarak yapılmıştır. Minerallerin tane büyülüklüklerinin çok küçük oluşu nedeniyle zenginleştirme işlemi oldukça güçtür.

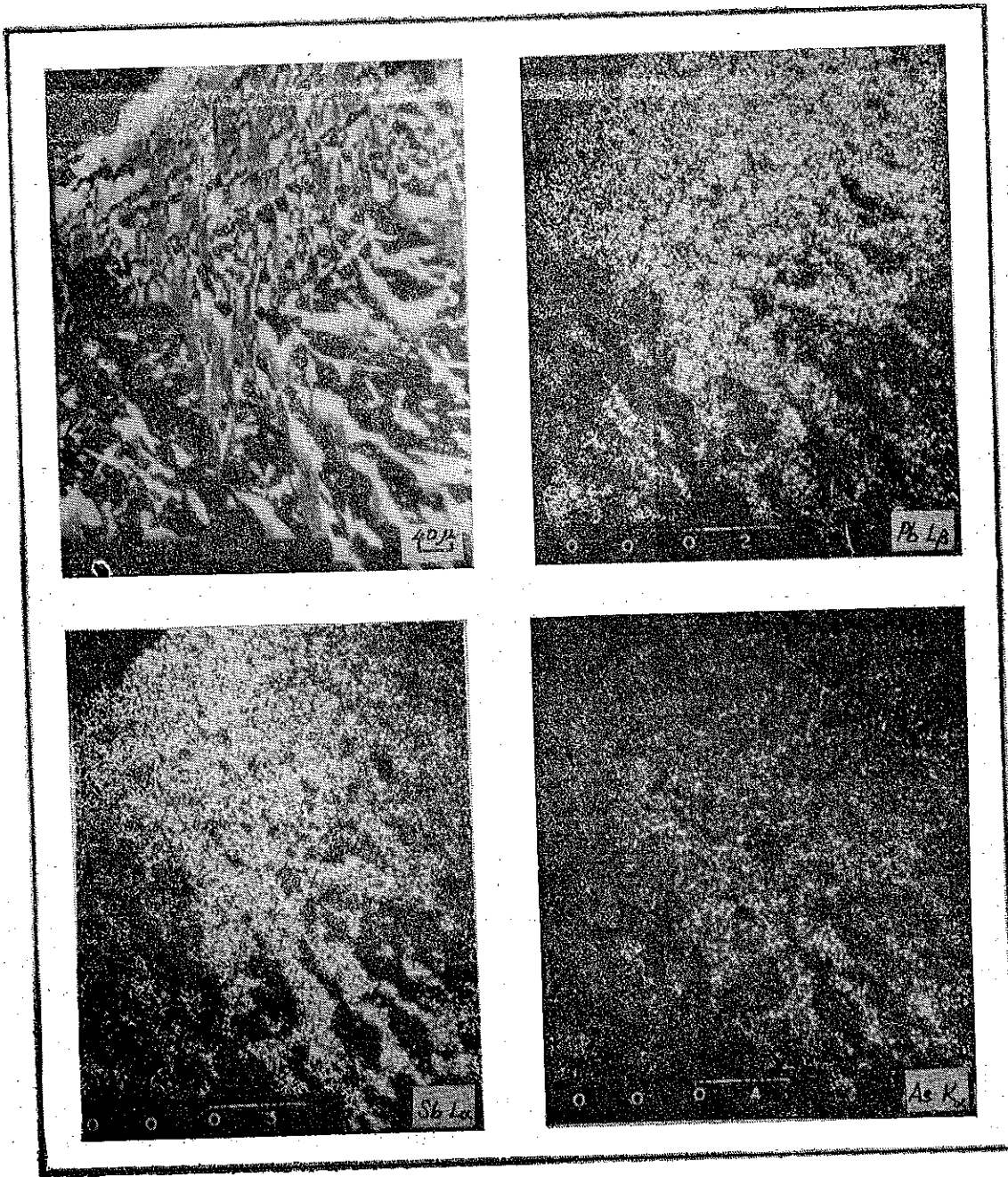
Alınan difraktogramda yansımaların A.S.T.M. kartlarındaki değerlerle karşılaştırılması sonucunda plajionit ve büyük olasılıkla tvinnit (veya guetardit) gibi iki mineralin varlığı ortaya konulmuştur. Difraktogramların (Şekil 3.1), değerlendirilmesi yapılrken $\pm 0.02 \text{ \AA}$ kadar ayırma gücünden doğan bir hata göz önünde bulundurulmuştur. A.S.T.M. No; 7-374'deki değerler daha ziyade düşük Bragg açılarındaki yansımalarla diğerandan A.S.T.M. No; 7-414'deki değerler yüksek Bragg açılı yansımalarla Balya'daki örneklerle uyumluluk gösterirler.

X-ışını kirinim çalışmalarında sulfominerallerin yansımalarının çoğunlukla birbirini kamufla ettikleri veya çakışıkları çok yaygındır. Çakışma nedeniyle yansımalar genellikle difüz bir görünüm alırlar (Kodera ve dig., 1970; Jambor, 1967a). Balya plajionit mineralinin bazı yansımalarının galenit ve diğer sulfominerallerle çakışması söz konusudur.

3.3.2. Elektron Mikroprob Analizleri

Bilgisayar programının kullanılmasıyla gerçekleştirilen plajionit mineralinin kalitatif elektron mikroprob analizinde bu mineralin Pb, Sb, As ve S elementlerinden oluşturduğu görülmüştür. Bu elementlerin spektral çizgileri kullanılarak geri yansıyan elektron ve x-ışını tarama fotoğrafları çekilmiştir (Şekil 3.2).

Pb-Sb/As sulfominerallerinin kantitatif elektron mikroprob analizleri Pb-Bi sulfominerallerine oranla spektral çizgilerin çakışma-



Sekil 3.2. Plajionit mineralinin (masif agregat) geri yansyan elektron ve x-ismi tarama goruntuleri. Plajionit ile beraber gorullen ignecikler seklindeki mine-

ral tvinnit'dir. Igneceklerin kalintigi: 5-10 μ arasında degisir (x500).

si nedeniyle daha guctur. Kullanan Pb L β ve As K α çizgilerinin x-ismi siddetleri düşük olduğundan pik/geri fon oranı oldukça düşük olacaktır; bu durum ise kantitatif analiz için arzulanmayan bir sonuctur. Kantitatif analiz sonuçları bahsedilen bu degeşikliğin dışında Tablo (2.1)'deki gibidir.

As elementinin konsantrasyonu farktan hesaplandığı için analizlerin toplamları hakkında herhangi bir şey söylemek olanaksızdır. Pb analizlerinde pik/gerifon oranının düşük olmasına karşın değerlerdeki standart sapmanın (\mp %0.55) küçük olduğu görülür. Bu elementin konsantrasyonunun oldukça düşük ol-

| Element | 1 | 2 | 3 | 4 | 5 | 6 | 7 | 8 | 9 | 10 | Orta- Değer |
|---------------|--------|--------|--------|--------|--------|--------|--------|--------|--------|--------|----------------|
| Pb | 40.80 | 39.75 | 40.03 | 38.78 | 39.48 | 39.56 | 40.18 | 40.50 | 39.85 | 40.20 | 39.95 |
| Sb | 24.52 | 23.44 | 23.00 | 25.61 | 24.14 | 25.30 | 24.45 | 24.80 | 25.73 | 23.85 | 24.48 |
| As | 11.76 | 13.19 | 14.24 | 12.14 | 12.17 | 12.24 | 11.87 | 11.25 | 11.22 | 13.00 | 12.31 |
| S | 23.22 | 23.62 | 22.73 | 23.47 | 23.85 | 22.90 | 23.50 | 23.45 | 23.20 | 22.95 | 23.29 |
| <i>Toplam</i> | 100.00 | 100.00 | 100.00 | 100.00 | 100.00 | 100.00 | 100.00 | 100.00 | 100.00 | 100.00 | 100.00 |

Tablo (3.1); Balya sondaj karotlarında saptanan plajionit mineralinin analiz sonuçları.

ması düşük pik/geri fon oranından etkilenmediğini göstermektedir. Buna karşın Sb ve As elementlerindeki standart sapma değerleri yaklaşık olarak $\pm 1\%$ kadardır.

Tablo (3.1)'deki ortalama değerlerin kullanılmasıyla yapılan kristalkimyasal hesaplamada Balya plajionit mineralinin formülü $Pb_{4.90}Sb_{5.15}As_{4.12}S_{17.00}$ şeklinde yazılabilir. Bu ise plajionitin kuramsal formülü olan $Pb_5(Sb, As)_6S_{17}$ ile çok yakın uyumluluk gösterir (Jambor, 1969; Garwin, 1973).

Balya plajionit mineralinde SB:As oranı 2:1 kadardır. Bu değer $Sb \leftrightarrow As$ izomorf değişimini bu parajenezde ne kadar etkin olduğunu gösterir. Sb ve As elementlerinin izomorf değişim sınırı Pb-Sb/As sulfominerallerinde daha da yüksek değerlere, örneğin 1:1, varabilir (Ramdohr, 1969; Craig, 1969; Craig ve Chang, 1972).

Balya plajionit mineralinin $Pb/(Sb+As)$ oranı 1.09'dur. Bu değer kuramsal plajionit için 1.06'dır.

Balya'daki plajionitin x-ışını kırınım (Röntgen difraksiyon) ile elde edilen d-değerleri ile bu minerali kuşku götürmeyen bir şekilde tanımlayabilmış olduğumuzdan çeşitli Pb-Sb/As sulfominerallerinin kompozisyonu ile karşılaştırılmaya gereksinim kalmamaktadır.

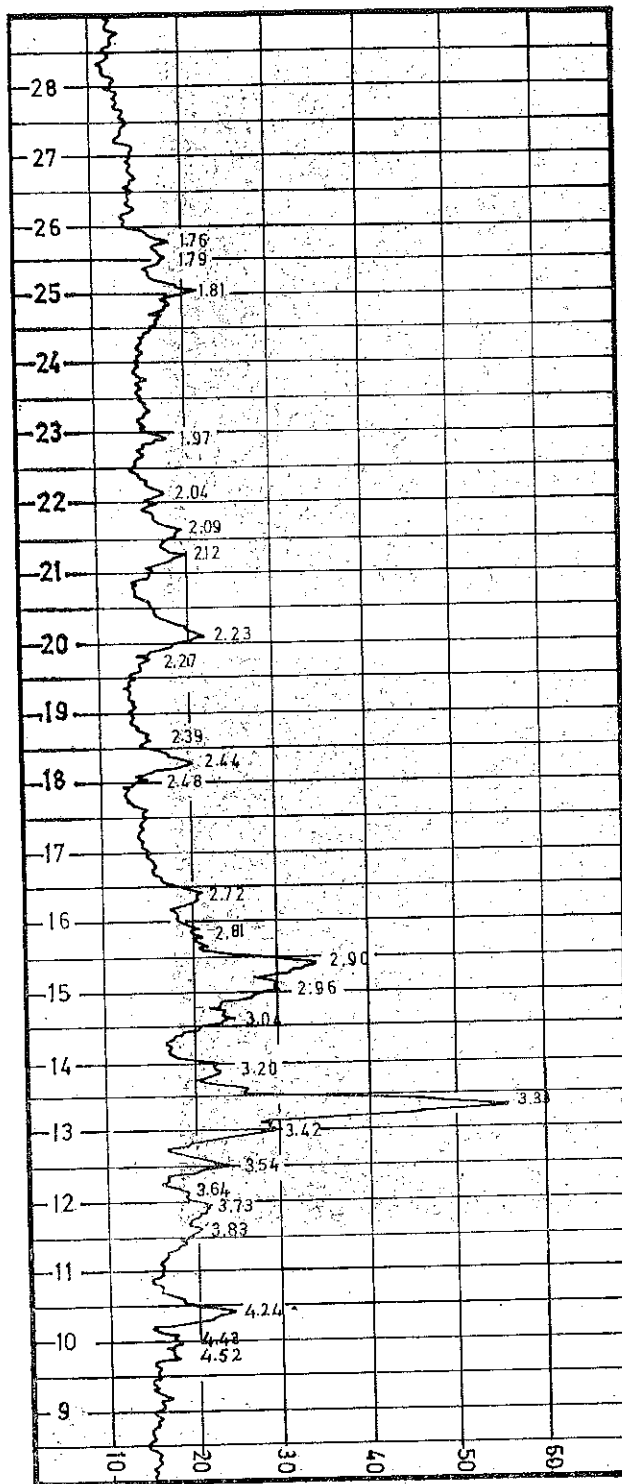
3.4. TVİNNİT

3.4.1. X-ışını Kırınım (Röntgen Difraktometre) Çalışması

Alınan x-ışını difraktogramında (Şekil, 3.1) tvinnit ile plajionit minerallerinin yansımalarının bir kısmının yüksek Bragg açılarında çakışıkları görülebilir. Bu çakışmadan başka, guetardit ile tvinnitin d-değerleri arasındaki yakın ilişki nedeniyle, yansımaların çakışma bir başka boyut ve karmaşılık kazanır. Bu nedenlerle sadece x-ışını kırınım çalışmaları ile Pb-sulfominerallerinin kesinlikle tanımlanması olanaksız olmaktadır. Sonuç, bu tür çalışmalar ile kantitatif elektron

| Element | 1 | 2 | 3 | 4 | 5 | 6 | 7 | 8 | 9 | 10 | Ortalama |
|---------------|--------|--------|--------|--------|--------|--------|--------|--------|--------|--------|----------|
| Pb | 37.32 | 37.45 | 39.95 | 41.13 | 38.96 | 38.50 | 37.60 | 37.85 | 39.03 | 37.25 | 38.50 |
| Sb | 23.38 | 25.01 | 21.57 | 21.70 | 22.91 | 21.84 | 22.35 | 23.44 | 22.74 | 21.36 | 22.63 |
| As | 16.58 | 13.91 | 14.93 | 15.75 | 15.30 | 16.21 | 16.39 | 15.53 | 15.77 | 18.61 | 15.90 |
| S | 22.72 | 23.63 | 23.55 | 21.42 | 22.83 | 23.45 | 23.66 | 23.18 | 22.46 | 22.78 | 22.97 |
| <i>Toplam</i> | 100.00 | 100.00 | 100.00 | 100.00 | 100.00 | 100.00 | 100.00 | 100.00 | 100.00 | 100.00 | 100.00 |

Tablo (3.2); Balya sondaj karotlarında saptanan tvinnit mineralinin analiz sonuçları.



Sekil 3.3. Balya'da saptanan jeokronit mineralinin x ışını röntgen difraksiyon diyagramı.

mikroprob analizleri beraber değerlendirildiği takdirde ancak çözüme kavuşturulabilir (Uytengobaardt ve Burke, 1971).

Tvinnit ve guetardit mineralleri arasında ki bu tür bir transformasyonun nedeni bunların birim hücre parametrelerinin birbirine çok yakın olmasından ileri gelmektedir. Aşağıdaki değerlerden de görüleceği gibi her iki mineralin a ve b parametreleri tam bir benzerlik gösterirken, guetarditin c parametresi tvinnitin c parametresinin yaklaşık olarak iki katıdır :

| <i>Tvinnit</i> | <i>Guetardit</i> |
|------------------------|------------------------|
| $a = 19.6 \text{ \AA}$ | $a = 20.0 \text{ \AA}$ |
| $b = 7.99 \text{ \AA}$ | $b = 7.94 \text{ \AA}$ |
| $c = 4.30 \text{ \AA}$ | $c = 8.72 \text{ \AA}$ |

Guetardit mineralinin basitleştirilmiş formülü olan $\text{Pb}(\text{Sb}, \text{As})_{2-x} \text{S}_{4-1.5x}$ ifadede ki x 'in büyük oranda azalmasıyla söz konusu transformasyon gerçekleşerek $\text{Pb}(\text{Sb}, \text{As})_2\text{S}_4$ şeklindeki tvinnit minerali oluşabilir. Böyle bir gelişme sırasında $(\text{Sb} + \text{As})$ toplamı ile S miktarlarında değişiklikler meydana gelebilir (Jambor, 1967 b).

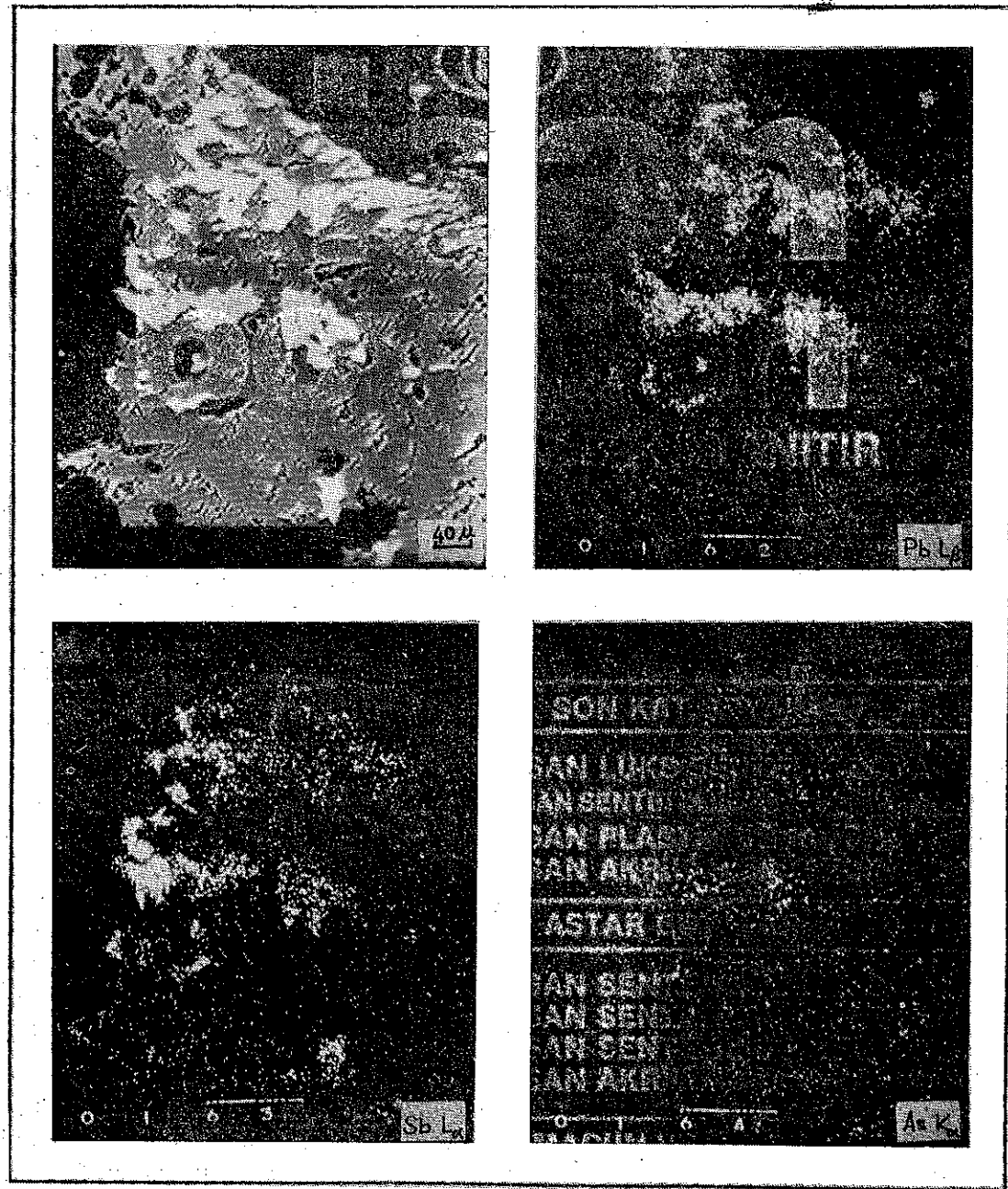
3.4.2. Elektron Mikroprob Analizleri

Tvinnit ile plajionit minerallerinin kuantitatif analiz sonuçları aynıdır. Her iki mineralin de Pb, Sb, As ve S elementlerinden oluşanları görülebilir. Bu iki mineraldeki elementlerin konsantrasyonlarında, kuantitatif analiz aşamasında büyük bir farklılık olmadığı ortaya çıkmaktadır. Bu sonuç daha sonra kantitatif analiz ile de doğrulanmaktadır.

Pb, Sb, As ve S elementleri için x-ışını tarama görüntüleri, karşılaştırma kolaylığı nedeniyle, bu iki mineralin beraber bulunduğu bir kesitten allinmiştir (Şekil, 3.2).

Tvinnit mineralinin analiz sonuçlarında, As elementinin farktan hesaplanmış olması nedeniyle, toplamlar hakkında sağlıklı irdeleme yapılamamaktadır. Ancak istatistiksel hesaplamalar sonucunda Pb, Sb ve As elementlerinin değerlerinde herbiri için yaklaşık olarak %1 kadar bir standart sapma görülebilir. S değerlerindeki aynı değer ise %0.69 kadardır.

Tablo (3.2) deki analiz sonuçlarının orta-



Şekil 3.4. Jeokronit mineralinin geri yansıyan ve x-ışımı tara ma görüntüler. 'Baklava' şeklindeki jeokronit kalopirit içerisinde görülmektedir (x500).

lama değerleri kullanıldığında tvinnit için kristal-kimyasal formülün $Pb_{1.00}Sb_{1.00}As_{1.11}S_{3.42}$ olduğu görülür. Bu formül $Pb(Sb,As)_{2.11}S_{3.42}$ şeklinde veya $Pb(Sb,As)_2S_4$ olarak da yazılabilir. Formülün son yazılış şekli tvinnitin kuramsal formülünün aynısıdır.

X-ışını kırınım sonucundan tvinnit ile guetardit arasında çok yakın benzerlik olduğu

zikredilmişti. Guetardit mineralinin kuramsal formülü $Pb_9(Sb,As)_{16}S_{33}$ 'tir. Balya örneklerinde saptanan tvinnit için elde edilen formül $Pb(Sb,As)_{2.11}S_{3.42}$, guetarditin içerdeği 33 S tabanına göre yeniden hesaplandığında $Pb_{9.65}(Sb,As)_{20.36}S_{33.00}$ haline dönüşür. Bu karşılaştırmadan Balya'daki mineralin çok büyük olasılıkla daha çok tvinnit değerlerine uyumluluk gösterdiği ortaya çıkar.

Tvinnit mineralindeki $Sb \leftrightarrow As$ izomorf ilişkisinin sınırı plajionitdeki kadar yüksek değildir. Balya örneklerindeki plajionit mineralinde $Sb:As$ oranı yaklaşık olarak 2:1 iken, aynı örneklerdeki tvinnit için bu oran 7:5 kadardır. Buna karşın tvinnit için $Pb/(Sb+As)$ oranı 1.00, plajionit mineralindeki metalik elementler oranı ise 1.09'dur. Kuramsal tvinnit için Pb/Sb oranı 0.85'dir.

Yukarıdaki açıklama ve bulgulardan da açıkça anlaşılabilcegi gibi geniş izomorf ilişkiler gösteren bu tür minerallerin, tek başına herhangi bir yöntemle, tanımlanabilmeleri gerçekten olanaksızdır. Maden mikroskopu, röntgen ışınları yöntemleri ve mikroprob analizlerinin sonuçları karşılaştırılmak suretiyle ancak bir kanı elde edilebilmektedir.

3.5. JEOKRONİT

3.5.1. X-ışını Kırınım (Röntgen Difraktometre) Çalışması

Balya örneklerinde, x-ışını kırınım yöntemi ile, jeokronit mineralinin varlığı ilk defa Gjelsvik (1962) tarafından ileri sürülmüştür.

Jeokronit mineralinin x-ışını kırınım çalışması için yeterli miktarda numune, çamurtaşı arasındaki 1-2 mm'ye varan bantlardan kazınarak alınmıştır.

Balya'da saptanın $Pb-Sb/As$ sulfomineraller arasında x-ışını kırınım yöntemiyle en kolay saptanabilen mineral jeokronit olmuştur. Elde edilen difraktogramdaki (Şekil, 3.3), belli başlı yansımalar jeokronitin yansımaları ile, küçük Bragg açıları dışında, tam bir uyum gösterirler.

Jeokronit minerali As'lı eşdegeri olan Jordanit ($Pb_4As_2S_7$) ile izomorf bir seri oluşturur. Bu özellik nedeniyle jeokronitin jordanit ile bazı yakın ve çakışan yansımaları olmasına rağmen, Balya'daki örneğin kalitatif elektron mikroprob analizi aşamasında çok az As içeriği görülmüştür; bu nedenle mineralin jeokronit olduğu sonucuna varılmıştır.

3.5.2. Elektron Mikroprob Analizi

Jeokronit minerali x-ışını kırınım çalış-

ması ile kesin olarak saptandığından kantitatif analizin yapılmasına gerek kalmamıştır. Kalitatif analizin yönlendirilmesi altında bu na gerek olmadığı kanısına varılmıştır.

Jeokronit mineralinin kalitatif analizi sonucunda, plajionit ve tvinnit sulfominerallerine benzer şekilde, Pb, Sb, As ve S elementlerindenoluştugu görülmüştür. Bu elementlerin karakteristik spektral çizgileri kullanılarak çekilen elektron ve x-ışını tarama görüntülerinde bu elementlerin oldukça homojen bir dağılım gösterdiği ve As elementinin içeriğinin düşük olduğu görülebilir (Şekil, 3.4).

4. SONUÇ VE TARTIŞMALAR

Balya sondaj karot örneklerinde saptanan sulfominerallerden biri (jeokronit) hariç, diğerleri bu bölgede ilk defa belirlenmiş olmaktadır. Bu minerallerden bursait daha önce Bursa-Uludağ'da bulunmuş ve yeni bir mineral türü olarak literatüre kazandırılmıştı. Bursait, Bursa dışında bir yerde, ilk defa Balya'da izlenmiş olmaktadır. Bursaitin bağımsız bir mineral olarak varlığı hakkında kuşkular halen sürdürülmektedir (Ramdohr, 1969; Fleischer, 1956; Klominsky ve diğ., 1971). Bu kuşkuların kaynağında mineralin kimyasal kompozisyonundaki farklılıklar yatmaktadır. Bursaitin ilk analiz değerleri ile, daha sonra mikroprob ile yapılan analizler arasında önemli farklılıkların varlığı görülmektedir (Tolun, 1954/55; Aydin, 1979; Klominsky ve diğerleri, 1971). Tolun'un (1945/55) analizlerinde görülen önemli miktardaki Fe (%1.98) ve n (% 3.18) elementlerinin bir zenginleştirme sorunundan ileri geldiği sanılmaktadır. Mineral üzerinde mikroprob ile yapılan analizlerde bu elementlerin çok daha düşük seviyelerde (Fe %0.06 ve Zn, %0.8) mevcut olabileceği görülmüştür (Aydin, 1979). Klominsky ve diğ., 1971)'nin yaptıkları analizlerde bu elementlerden söz edilmemektedir. Balya bursait mineralinde Fe ve Zn eser oranlarda olsa bile mevcut değildir.

Bursa'daki skarn cevherleşmesinin Balya'daki cevherleşmeye oranla daha yüksek sıcaklıkta oluşabileceği doğrultusunda kanıtlar vardır (Öztunalı, 1973; Aydin, 1979; İnan,

1980). Bursa-Uludağ'daki bu oluşumun yüksek sıcaklığı nedeniyle Fe ve Zn gibi elementlerin bursait içine girebilmiş olmaları kristalografik nedenlerle olumlu görülmektedir.

Bursait kompozisyonunda bir mineralin, aynı metalojenik zon içinde farklı yerlerde bulunmuş olması ve yapılan prob analizlerinin yakın sonuçlar vermesi, bu kompozisyonda bir mineral fazının var olduğunu kesin olarak kanıtlar. Bursait minerali üzerinde yapılan bu çalışma ile, bu mineral üzerindeki kuşkuların giderilebileceği umulmaktadır.

Heyrovskytin mikroprob analizleri arasındaki benzerlik yanında farklılıklar da vardır. Balya örneği üzerindeki çalışma kristalografik analizin yapılamaması nedeniyle tamamlanmış sayılamaz; ancak mikroprob analizlerine ağırlık verilerek sonuca gidilmeye çalışılmıştır.

Heyrovskyt mineralinin esdegeri olduğu ileri sürülen $PbS \cdot Bi_2S_3$ sistemindeki faz II, 200-829°C gibi geniş bir sıcaklık aralığında duyarlılık gösterir. Bu aralığın alt sınırı (200°C), Balya için belirlenen oluşum sıcaklığı olan orta sıcaklık (140-220°C) zononun içine düşmektedir.

Bursait ve Heyrovskyt ile yakın ilişkili olarak gelişen, ayırmalar şeklindeki bir üçüncü Pb-Bi fazi, önemli miktarda Te içeren bir mineraldir. Bu mineral için elde edilen prob analizlerinin bilinen diğer fazlarla karşılaştırılması sonucunda bunun bir tellürid olmadığı, bir Pb-Bi sulfominerali olabileceği kanısına varılmıştır. Bu grup minerallerinde Te ve S elementleri arasındaki geniş izomorf ilişki nedeniyle böyle bir mineralin meydana gelmesini kristalografik olarak sınırlar, zira bu iki element arasında tam bir yer değiştirmeye söz konusu olabilir. Bu durumda belirlenen Te minerali, Te içeren bir sulfomineral olarak ele alınabilir. Buradan hareketle yapılan karşılaştırmada, esas olarak Pb ve Bi ile S+Te toplamı kullanılmıştır. Böyle bir irdeleme sonucunda bu mineralin çivitait, rezbanit ve galenobizmutin ile benzerlikleri olabileceği görülmüştür. Kristalografik inceleme yapılmadığı için kesin çözüm olanağı henüz yoktur. Bu yapılmaya kadar, prob analizle-

rine ağırlık verilmesi uygun görülmüştür. Prob analizleri sonuçlarına göre, bu fazın yeni bir mineral türü olma olasılığının da göz önünde bulundurulması gerekmektedir. Bu olasılığın denetlenmesi sürdürülerek ve bulunduğu yerin adı ile "balyait" olarak anılması önerilecektir. Aksi halde daha önceki çalışmalarla elementer tellür olabileceği belirtilen (Kovenko, 1940; Gjelsvik, 1962; Akyol, 1979) bu mineralin Te içeren bir Pb-Bi sulfomineral fazı olduğu kesinlikle ortaya konulmuş olmaktadır.

Balya'daki parajenez içinde Pb-Bi sulfominerallerinden başka, ayrıca Pb-Sb/As sulfominerallerinin de mevcut olduğu belirlenmiştir.

Plajionit ve tvinnit minerallerindeki Pb/(Sb+As) oranları ve Sb/As değerleri birbirine oldukça yakındır. Bu iki menarlin fiziksel özellikleri, renk, anizotropi, VHN ve büyümeye şekilleri, mikroskop altında tamamen farklıdır.

Bu sulfominerallerde yansımalar birbirine çok yakın ve çoğu zaman çakışma göstergeler. Bu nedenle x-ışını kırınım difraktogramları da tam bir ayırtman olamazlar. Özellikle tvinnit ve guetardit gibi minerallerin hem kimyasal hem de yapısal benzerlikleri nedeniyle birbirinin transformasyonları şeklinde değerlendirilebilirler (Jambor, 1968). Plajionit ile tvinnit Balya örneklerinde ilk defa belirlenmiş olmaktadır.

Jeokronit, Balya örneklerinde daha önce Gjelsvik (1962) tarafından saptanmıştır. Bu çalışmada ise bu mineralin varlığı x-ışını yöntemi ile yeniden belirlenmiş, elektron mikroprob ile sadece kalitatif analizi yapılarak önemli miktarda As içeriği gözlenmiştir. Balya Pb-Sb sulfominerallerinin en önemli özelliği etkin bir $Sb \rightleftharpoons As$ izomorf ilişkisi göstermektedir.

Sulfomineral grubu mineralleri en zor tanımlanabilen kompleks sülür bileşikleridir. Bu mineralleri en etkin tanımlama yolu, x-ışını kırınım ile mikroprob analizlerinin beraber yapılması ile olasıdır. Bu çalışmada da görüldüğü gibi bu mineraller üzerinde her za-

man x-ışını kirinim çalışması yapma olasılığı yoktur. Minerallerin zenginleştirme işlemi aşılması güç bir engel oluşturmaktadır. Bu durumda tek dayanak mikroprob analizleri olmaktadır. Grubu oluşturan minerallerde $\text{Bi} \rightleftharpoons \text{Sb}$, $\text{Sb} \rightleftharpoons \text{As}$ ve $\text{S} \rightleftharpoons (\text{Te}, \text{Se})$ şeklinde çok yaygın izomorf ilişkiler mevcuttur. Bu nedenle, elektron mikroprob analizleri de özenle değerlendirilmelidir. Bu tür bir değerlendirme yapıldıken empirik varsayımlardan ziyade belirli bir kurala veya kuralların bir arada ele alınması gereklidir. Bu çalışmada, degenilen zorluluğu aşmak için her üç sulfomineral grubunda da aynı etkinlikle kullanılabilen Pb/X oranları ($X = \text{As}, \text{Sb}, \text{Bi}$) ile %S arasında mevcut olduğu saptanan doğrusal ilişkiden yararlanılabileceği ortaya konmuştur.

Yukarıda bahsedilen ilişkiyi formüle etmek için bilinen tüm sulfominerallerin teorik formüllerinden her elementin %'leri hesaplanmıştır. Pb/As, Pb/Sb ve Pb/Bi oranlarına karşı %S değerleri leg-lineer grafikte çizilecek

olursa her grup için doğrusal bir ilişkinin mevcut olduğu görülür. Bu doğrusal ilişkinin genel ifadesi şu şekilde verilebilir:

$$\log_{10} \frac{\text{Pb}}{X} = m.S + c$$

m ve c her sulfomineral grubu için sabit bir katsayıdır.

Böyle bir matematiksel bağıntı mevcut olduğu zaman Pb/X oranları esas alındığında S değerlerindeki düzeltmelerin ne kadar ve ne sınırlar içinde olabileceği rahatlıkla hesaplanabilir. Sulfomineral analizlerinde S değerlerine uygulanan soğruma katsayılarının çoğu zaman büyük farklılıklar gösterdiği bilinen bir gerçektir. Düzeltmelere rağmen S sonuçlarında önemli bir hatanın varlığı söz konusudur. Standart seçimine göre bu hata, ya yüksek veya düşük değerler alabilir. Yukarıdaki bağıntı ile böyle bir hata hemen birelnebilir ve sonuçlar buna göre düzeltilebilir.

K A Y N A K L A R

- AKYOL, Z., 1979, Balya Kurşun-Çinko Maden Yatağı, Jeol. Müh. Ocak, s. 47-58.
- AYDIN, E. ve ÖZTUNALI, Ö., 1981, Biga Yarımadasındaki Pb-Zn Cevherleşmelerinin oluşum koşulları, İstanbul Yerbilimleri, C. 1, sayı 1-2, s. 91-95.
- AYDIN, E., 1979, M.T.A. Lab. Dai. Bşk. Rap. No: 3092, XRM No: 36.
- AYGEN, T., 1956, Balya bölgesi jeolojisinin incelenmesi, M.T. A. Yayımları, Seri D. No: 11.
- BARTON, P.B. ve SKINNER, B.J., 1987, Sulphide mineral stabilities. Geochemistry of Hydrothermal Ore Deposits. s. 233-333. Edt.: H.L. BARNES. New York, Holt Rinehart and Winston.
- BARTON, P.B. Jr., P.M. BETHKE ve P. TOULMIN, 3rd. 1963, Equilibrium in Ore deposits. Miner. Soc. Amer. Spec. Paper, No. 1, s. 171-185.
- BETHKE, P.M. ve P.B. BARTON, Jr., 1971, Distribution of some minor elements between coexisting sulfide minerals. Econ. Geol., 66, s. 140-163.
- BOWIE, S.H.U., 1967, Microscopy: Reflected light. Physical Methods in Determinative Mineralogy. s. 103-159. Edt. J. ZUSSMAN. Academic Press.
- BOWIE, S.H.U. ve K. TAYLOR, 1958, A system of Ore Mineral Identification. Mining Mag., 99, s. 265-271, 337-345.
- ÇAĞATAY, A. ve E. AYDIN, 1978, Baltkesir Balya madeninde ilk kez izlenen Pb-Bi sulfominerali: Heyrovskiy üzerinde bir çalışma. Yerbilimleri, C. 4, s. 23-27.
- CHAPMAN, E.P. ve STEVENS, R.E., 1933, Silver and bismuth bearing galenas, Leadville, Colorado. Econ. Geol., 28, s. 674-685.
- CRAIG, J.R., 1967, Phase relations and mineral assemblages in the Ag-Bi-Pb-S system. Mineralum Deposita, 1, s. 278-306.
- CRAIG, J.R. ve L.L.Y. CHANG, 1972, Investigation on the system Pb-Sb-S. Geol. Soc. Am. Annual Meeting Prog., 4, s. 479.
- ČZAMANSKE, G.K. ve HALL, W.E., 1975, The Ag-Bi-Pb-Sb-S Se-Te mineralogy of the Darwin lead-Silver-zinc deposit, Southern California. Econ. Geol., 70, s. 1092-1110.
- FLEISCHER, M., 1956, New Mineral names. Amer. Miner., 41, s. 671.
- FRIEDMAN, I., 1949, A method of measurement of geologic temperatures. J. Geol., 57, s. 618-619.
- GALOPIN, R. ve N.F.M. HENRY, 1972, Microscopic Study of Opaque Minerals. Heffer, Cambridge.
- GARVIN, P.L., 1973, Phase relations in the Pb-Sb-S system N. Jb. Miner. Abh., 118, s. 235-267.
- GJELSVIK, T., 1958, Notes on the geology of Balya Maden. M.T.A. Bull. No. 51 (Foreign edn.), s. 19-25.
- GJELSVIK, T., 1962, Investigations of lead-zinc deposits in Northwest Anatolia, Turkey. M.T.A. Bull. No. 59 (Foreign edn.), s. 62-70.
- HALL, W.E., H.J. ROSE, Jr., ve F. SIMON, 1971, Fractionation of minor elements between Galena and sphalerite. Econ. Geol., 66, s. 602.
- HOLLAND, H.D., 1956, The chemical composition of vein minerals and the nature of ore forming fluids. Econ. Geol., 51, s. 781-797.

- İNAN, K., 1980, Uludağ skarnlarının mineral parajenezleri ve oluşum koşulları (Bildiri özetleri). 34. T.J.K. Bilimsel ve Teknik Kurultayı, Ankara.
- JAMBOR, J.L., 1967a, New lead sulfantimonides from Madoc, Ontario - Part I Can. Miner., 9, s. 7-24.
- JAMBOR, J.L., 1967b, New lead sulfantimonides from Madoc, Ontario - Part II : Mineral descriptions. Can. Miner., 9, s. 191-213.
- JAMBOR, J.L., 1968, New lead sulfantimonides from Madoc, Ontario - Part III. Synthesis, paragenesis, origin. Can. Miner., 9, s. 505-521.
- JAMBOR, J.L., 1969, Sulphosalts of the plagiomite group. Miner. Mag., 37, s. 442-446.
- KAADEN, G.v.d., 1959, Age relations of magmatic activity and of metamorphic processes in the north western part of Anatolia - Turkey Bull. Mineral. Res. Explor. Inst. Turkey. Foreign Edn. No. 52, s. 15-33.
- KIRIANENKO, A.F., CALLAIS, M.D., ve ADDA, Y., 1963, Analysis of heavy elements ($Z > 80$) with the Casting microprobe : Application to the Analysis of binary systems containing uranium. X-ray Optics and X-ray Microanalysis. Edt: H.H. PATTE, V.E. COSSLETT, A. ENGSTRÖM. Academic Press.
- KLOMINSKY, J., M. RIEDER, C. KIEFT, L. MRAZ, 1971, Heyrovskyite, $6(\text{Pb}_{0.85} \text{Bi}_{0.08} (\text{Ag}, \text{Cu})_{0.04}) \text{S} \cdot \text{Bi}_2 \text{S}_3$, from Hurky, Czechoslovakia, a new mineral of genetic interest. Mineralum Deposita, 6, s. 133-147.
- KODERA, M., KUPÇIK, V.Y. ve E. MAKOVICKY, 1970, Hodrushite - A new sulfosalt. Miner. Mag., 37, s. 641-648.
- KOROLEVA, N.N., 1965, Distribution of silver and bismuth in the galenas of the Altyn - Topkan region. Geochem. Intern. s. 577-581.
- KOVENKO, V., 1940, Balya kurşun Madenleri (Türkiye). M.T.A. Mecm. 4/21, s. 580-587.
- KUMBASAR, I. ve ATEŞOK, N., 1979, Uludağ şelit yatağında Kozalit oluşumu. T. Jeol. Kur. Bult., 22, s. 233-236.
- MALAKHOV, A.A., 1968, Bismuth and antimony in galenas as indicators of some conditions of ore formation. Geochem. Intern. 1968, s. 1055-1068.
- NEDACHI, M., TAKEUCHI, T., YAMAOKA, K., ve TANIGUCHI, M., 1973, Bi-Ag-Pb-S minerals from Agenosawa Mine, Akita prefecture, Northeastern Japan. Science Reports. Tohoku Univ. Third series. 12, s. 69-80.
- NOWACKI, W., 1969, Zur Klassification und Kristallchemie der Sulfosalz. Schweiz. Mineral. Petrogr. Mitt. 49, s. 109-156.
- NOWACKI, W., 1971, Classification of sulfides and sulfosalts. Soc. Mining Geol. Japan, Spec. Issue, 2, s. 3-9.
- NOWACKI, W. ve STALDER, H.A., 1969, Zwei Wismut sulfosalze von Sta. Maria, Val Medel, Ct. Graubünden. Schweiz. Miner.-Petrogr. Mitt., 49, s. 97-101.
- ÖZTUNALI, Ö., 1973, Maden Yatakları, Oluşumları ve Değerlendirmeleri, İstanbul.
- PANFILOV, R.V., 1972, Bi/Sb ratio in galenas from east Transbaykalya sulfide deposits. Geochem. Intern. 9, s. 545-551.
- PARNAMAA, E., 1963, On the use of microhardness (VH) in the microscopical identification of ore minerals, especially sulfides of Pb, Bi. S. Lunds Universitetes Arsskrift. N.F. Avd. 2, Bd. 59 Nr. 3.
- RAMDOHR, P., 1969, The Ore Minerals and Their Intergrowths. Pergamon, Oxford.
- RAMDOHR, P., 1975, Die Erzmineralien und ihre Verwachsungen Akademie Verlag.
- SARKAR, S.C., 1969, Tetradyomite and wherlite from Singhbhum Copper - Belt, India. Miner. Mag., 37, s. 423-425.
- SCHERBINA, V.V., 1976, Sulfide minerals as geochemical indicators Geochem. Intern., 13, s. 92-100.
- SCOTT, S.D. ve BARNES, H.L., 1971, Sphalerite geothermometry and geob arometry. Econ. Geol., 66, s. 653.
- TOLUN, R., 1954/55, A new mineral, bursaite, $\text{Pb}_2\text{Bi}_2\text{S}_3$. Bull. Miner. Res. Inst. Turkey, No: 46, s. 106-127.
- UYTENROGAARDT, W., ve BURKE, E.A.J., 1971, Tables for Microscopic Identification of Ore Minerals. 2nd edn. Elsevier.
- WIJKERSLOOTH, P. de, 1955, Morphological and optical properties of bursaite. Unesco Symp. Appl. Geol. Near East, Ankara.